

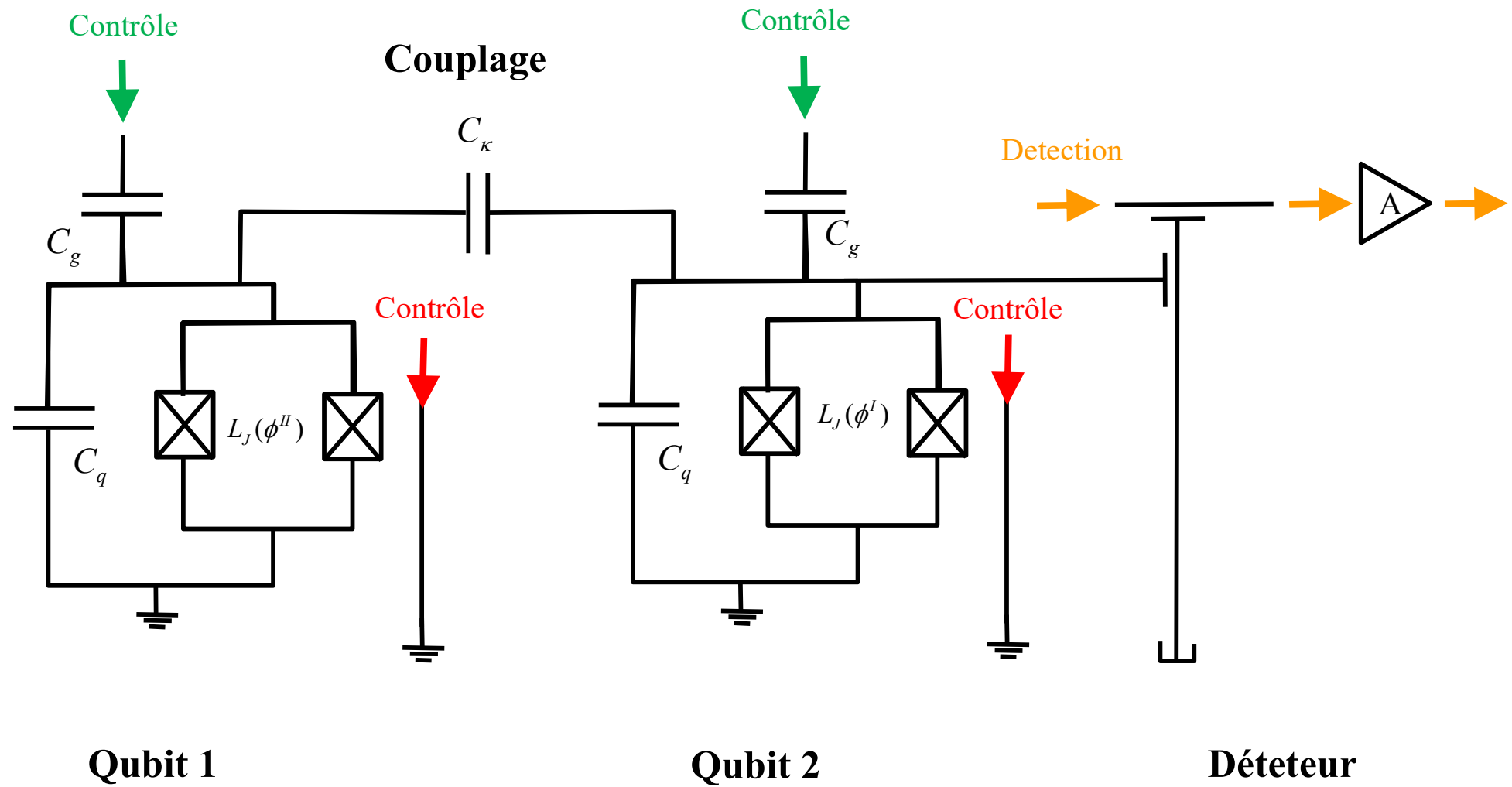
La science quantique

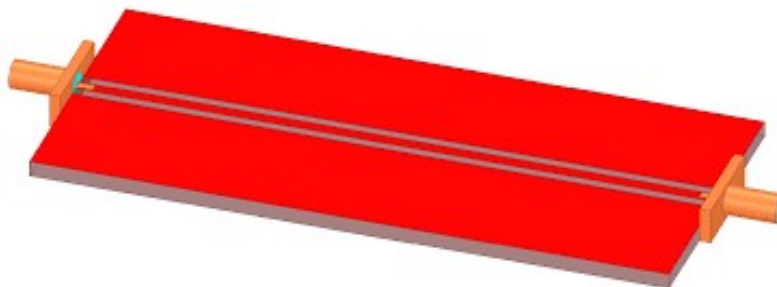
Une vision singulière

XIII) superconducting qubits

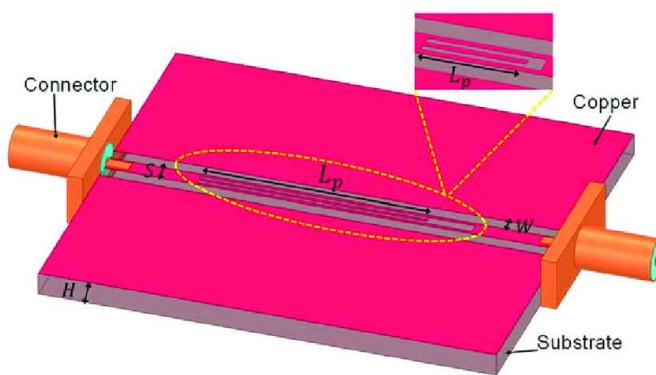
P.A. Besse

Schéma global: paire de qubits couplés



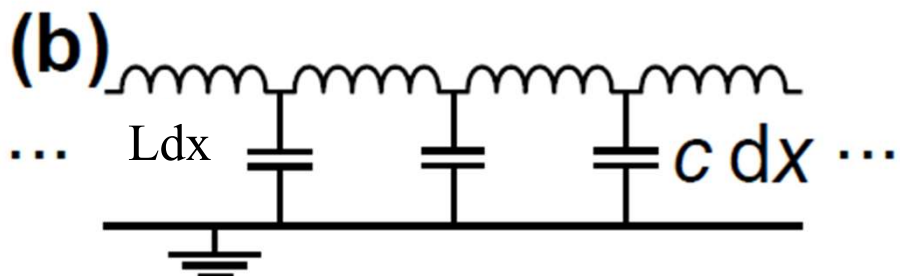
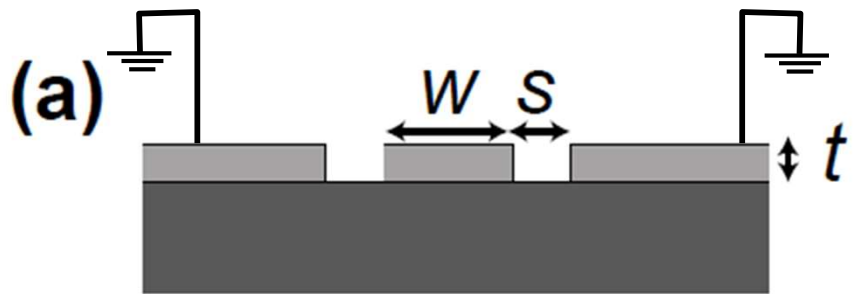


Guide d'onde coplanaire et Résonateur harmonique LC

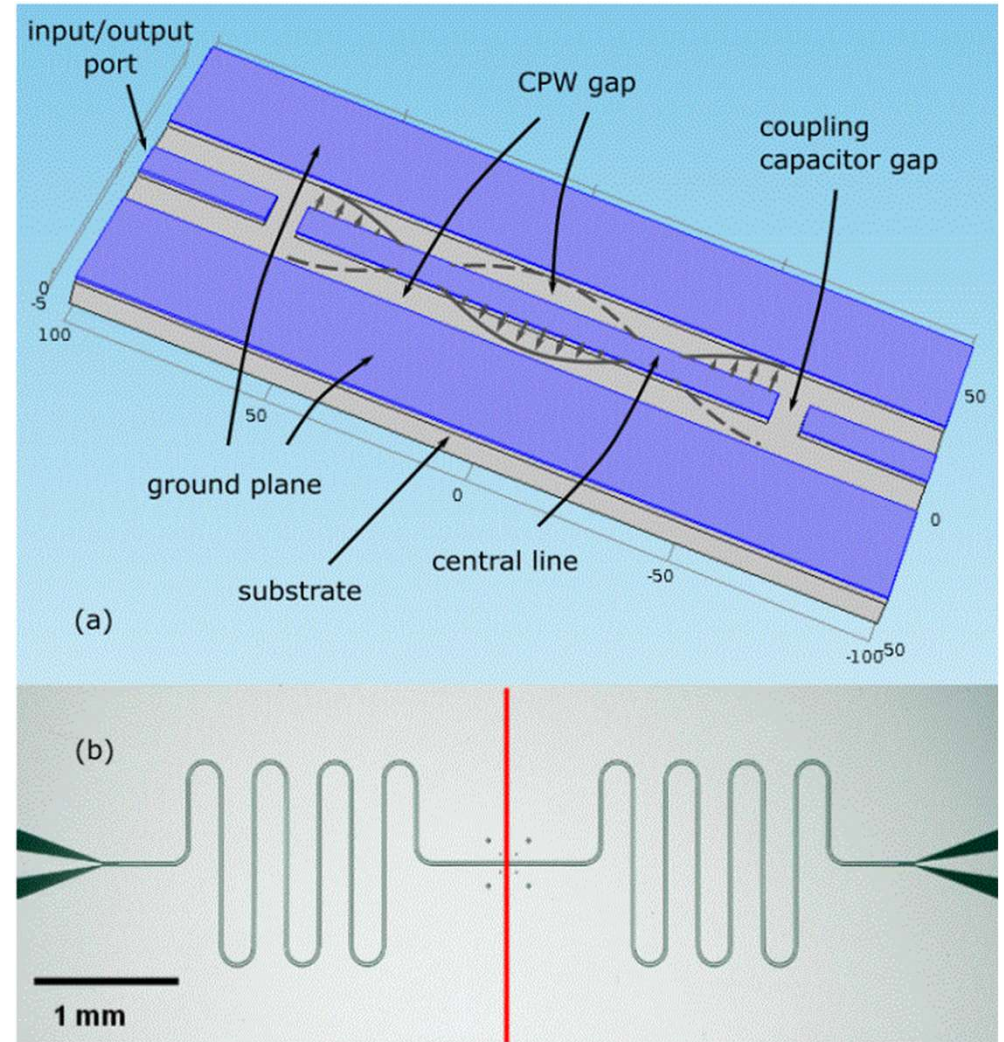


Coplanar Waveguide (CPW) Resonator

Similaire aux câbles coaxiaux:
Résonateur LC «distribué»

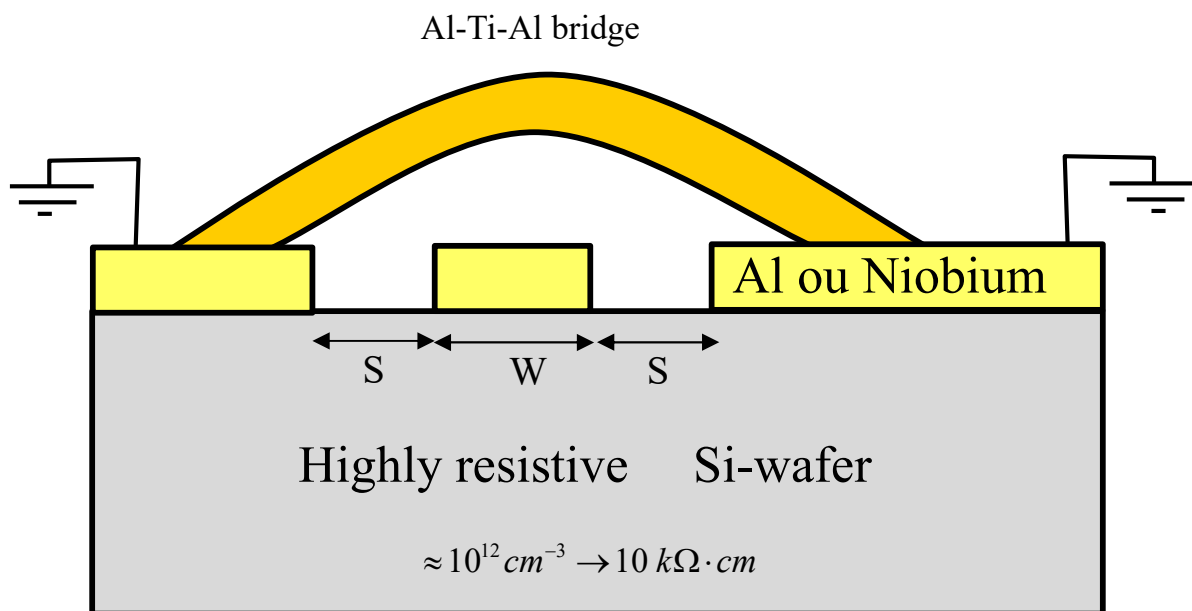


J.C Besse, ETH Thesis 27386



https://qudev.phys.ethz.ch/static/content/science/Documents/semester/Junxin_Chen_SemesterThesis_150318.pdf

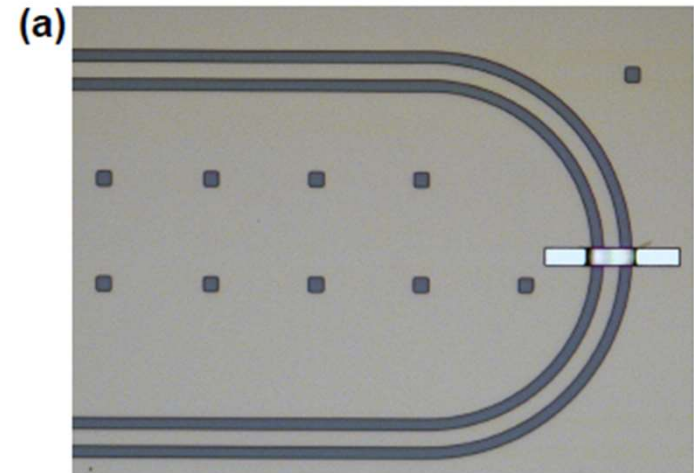
Coplanar Waveguide (CPW) Resonator



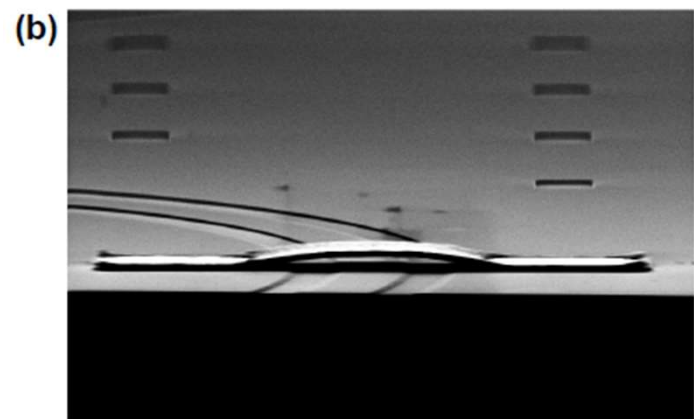
$T < 100 \text{ mK}$

$W = 10 \text{ }\mu\text{m}, S = 5 \text{ }\mu\text{m}$

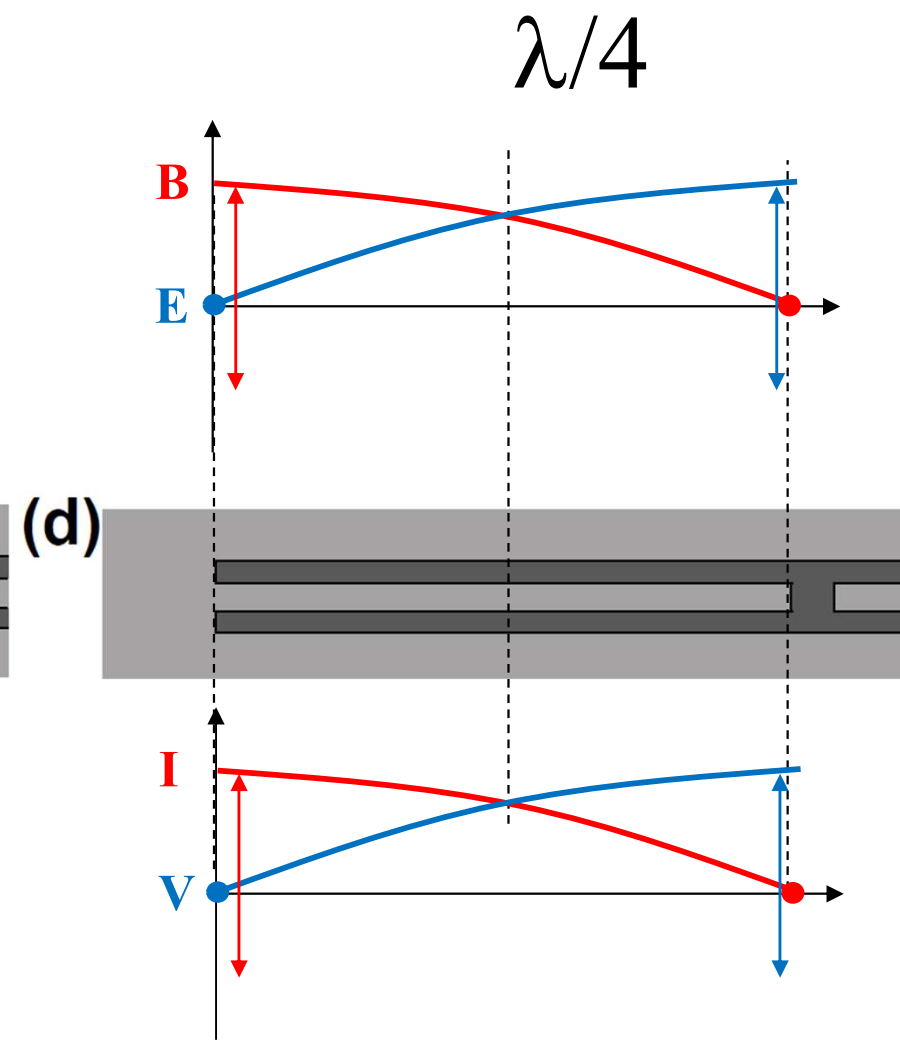
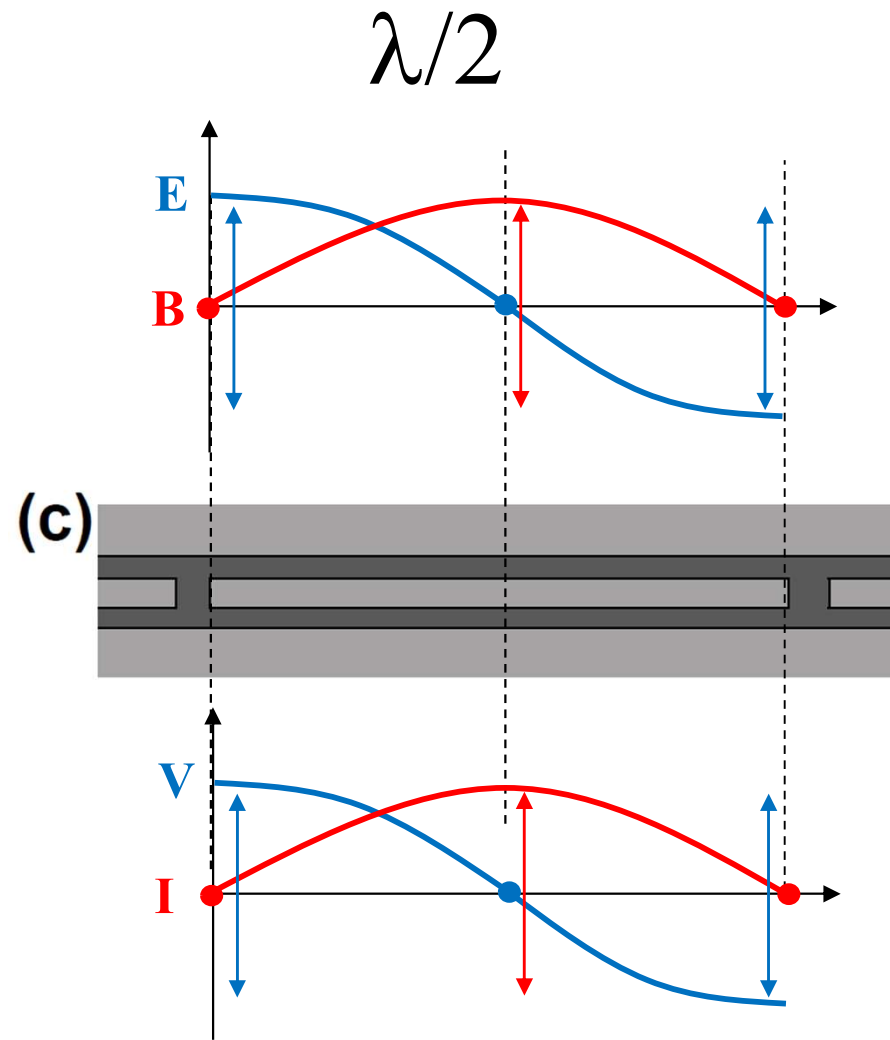
«câble coaxial»



J.C Besse, ETH Thesis 27386

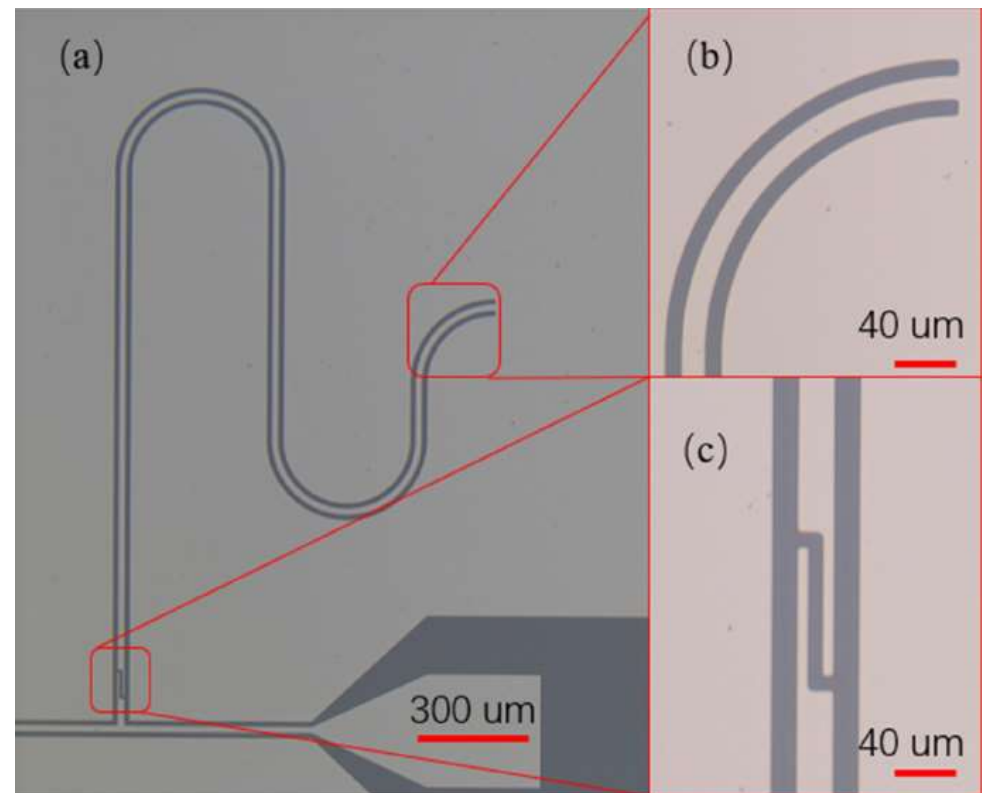
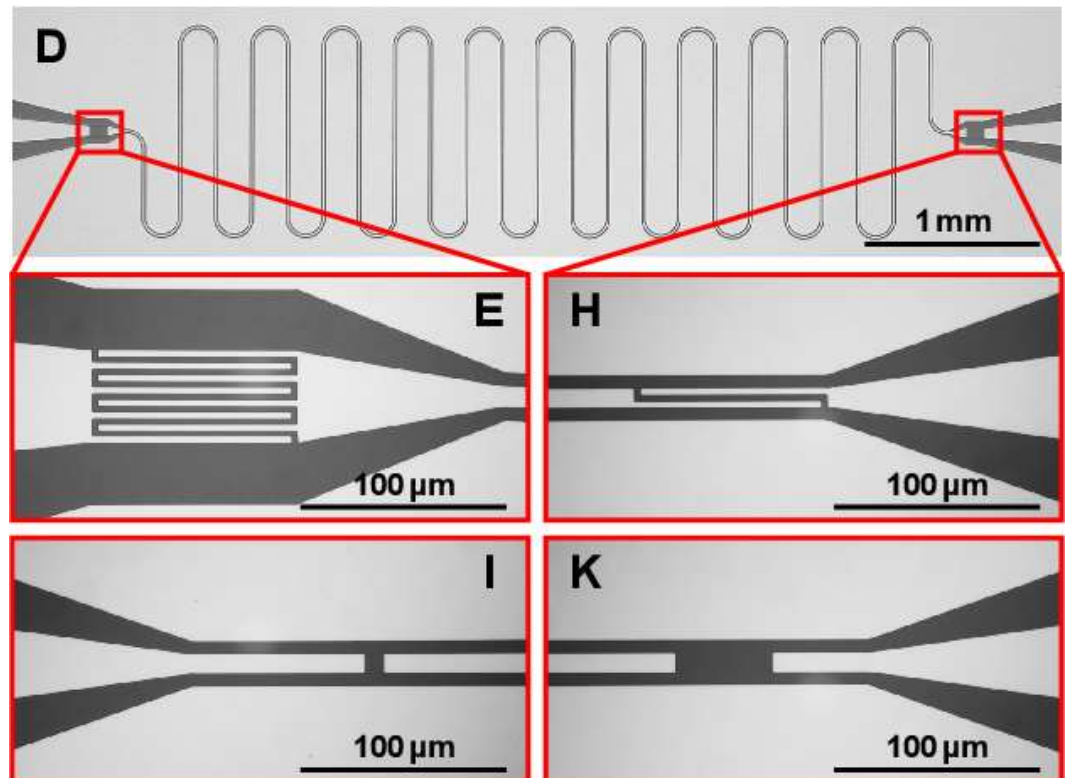


J.C Besse, ETH Thesis 27386



J.C Besse, ETH Thesis 27386

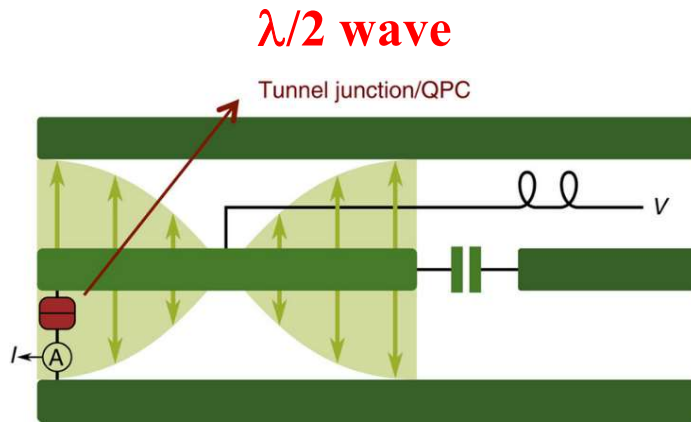
Coplanar waveguide resonator



Goppl, M. et al. "Coplanar waveguide resonators for circuit quantum electrodynamics." *Journal of Applied Physics* 104 (2008): 113904.

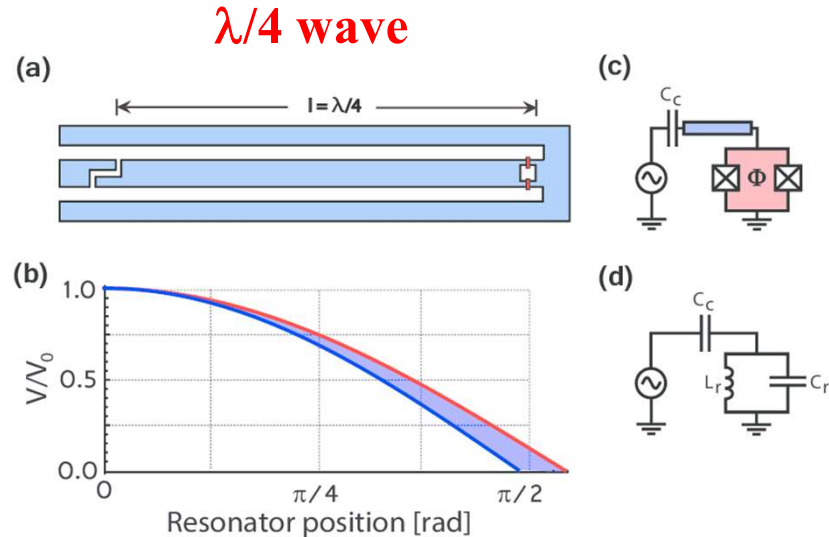
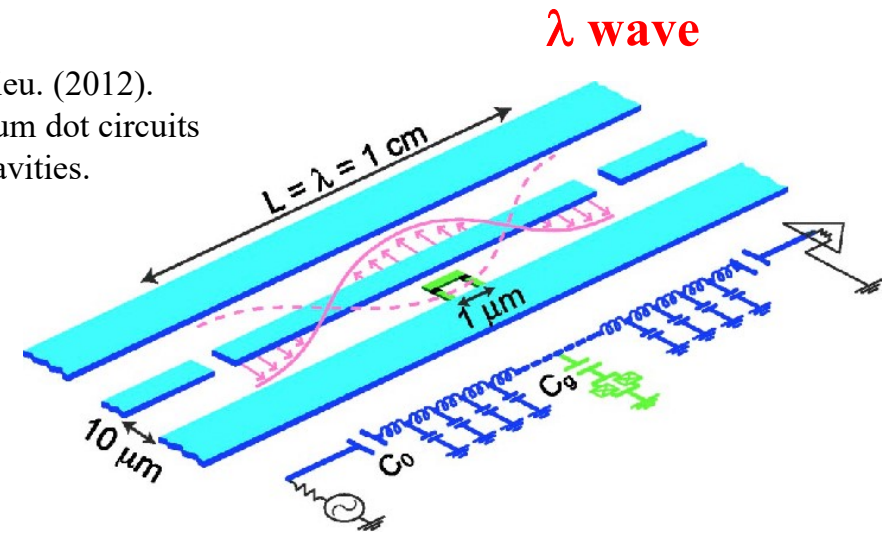
<https://link.springer.com/article/10.1007/s42452-022-04956-7>

Coplanar waveguide resonator

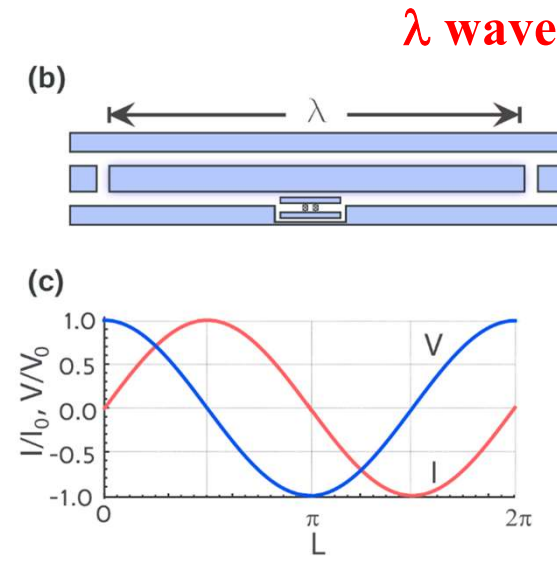


Souquet J.R. et al.. (2014). Photon-assisted tunneling with non-classical light. Nature communications. 5. 10.1038/ncomms6562.

Delbecq, Matthieu. (2012). Coupling quantum dot circuits to microwave cavities.



Krantz, Philip. (2013). Parametrically pumped superconducting circuits. 10.13140/RG.2.1.1071.3041.



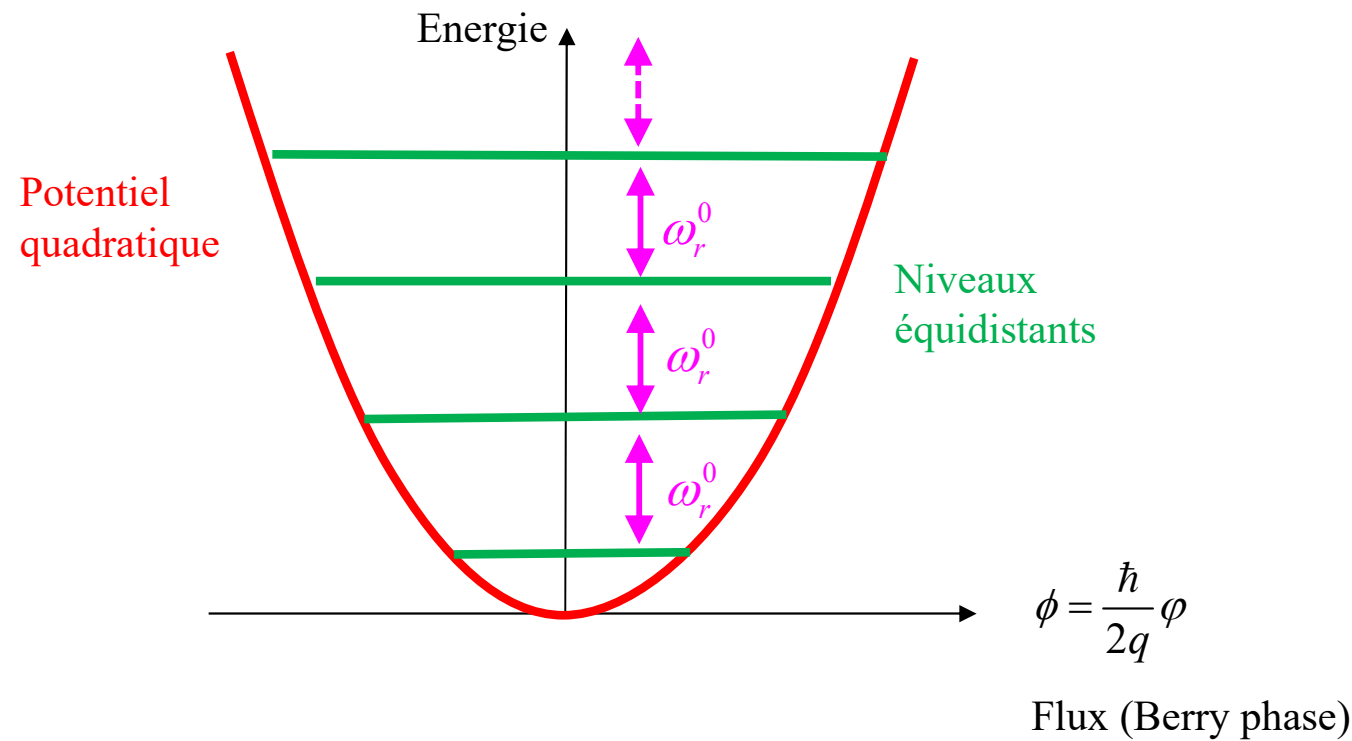
Hamiltonien:

$$H = \frac{1}{2C} \cdot Q^2 + \frac{1}{2L} \cdot \phi^2 = \hbar\omega \cdot \left(a^+ a^- + \frac{1}{2} \right)$$

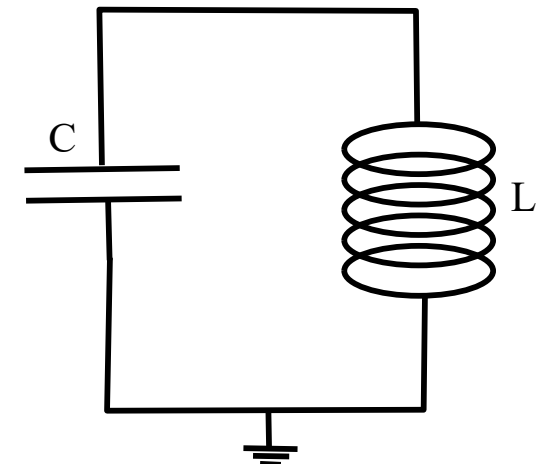
Energie
capacitive Energie
inductive

$$\omega_r \equiv \frac{1}{\sqrt{LC}}$$

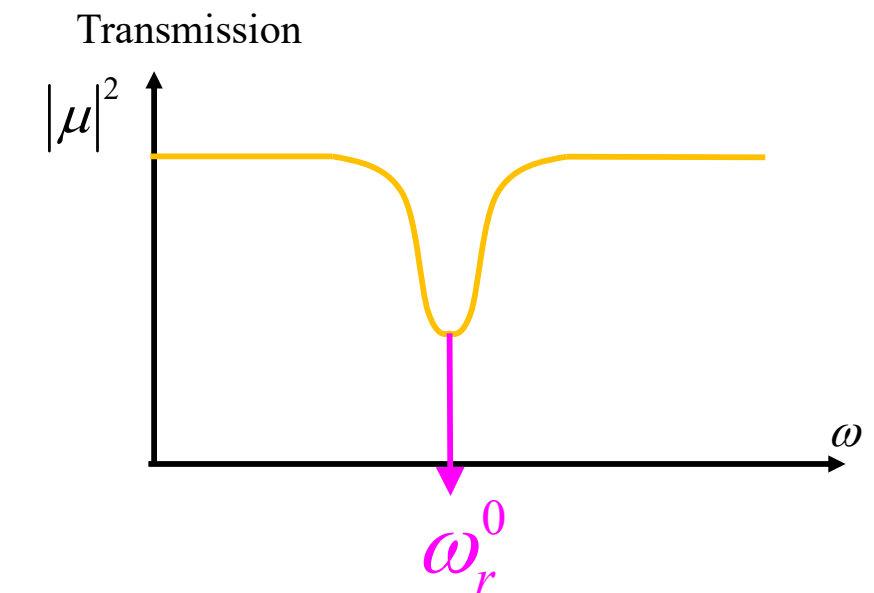
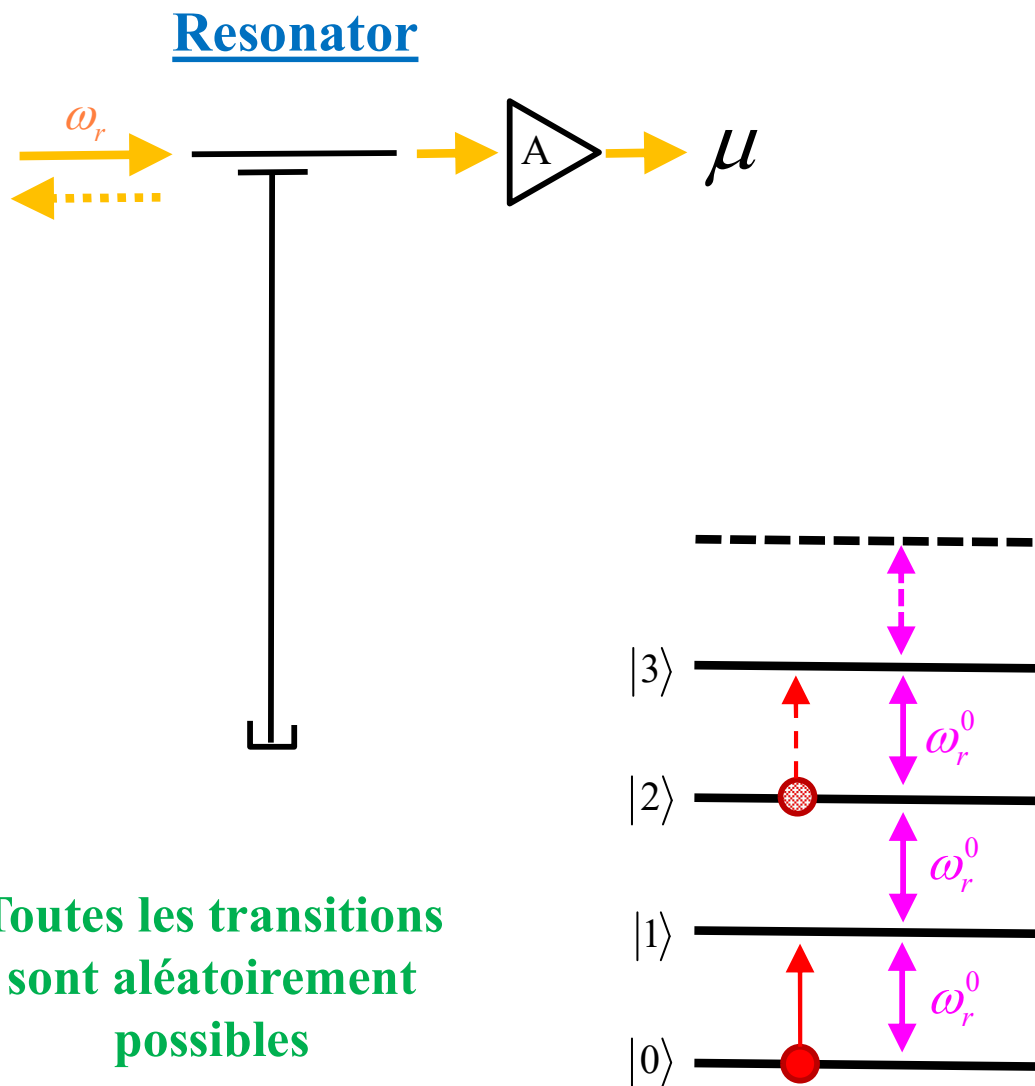
Oscillateur Harmonique LC



$$\phi = \frac{\hbar}{2q} \varphi$$



Résonateur harmonique

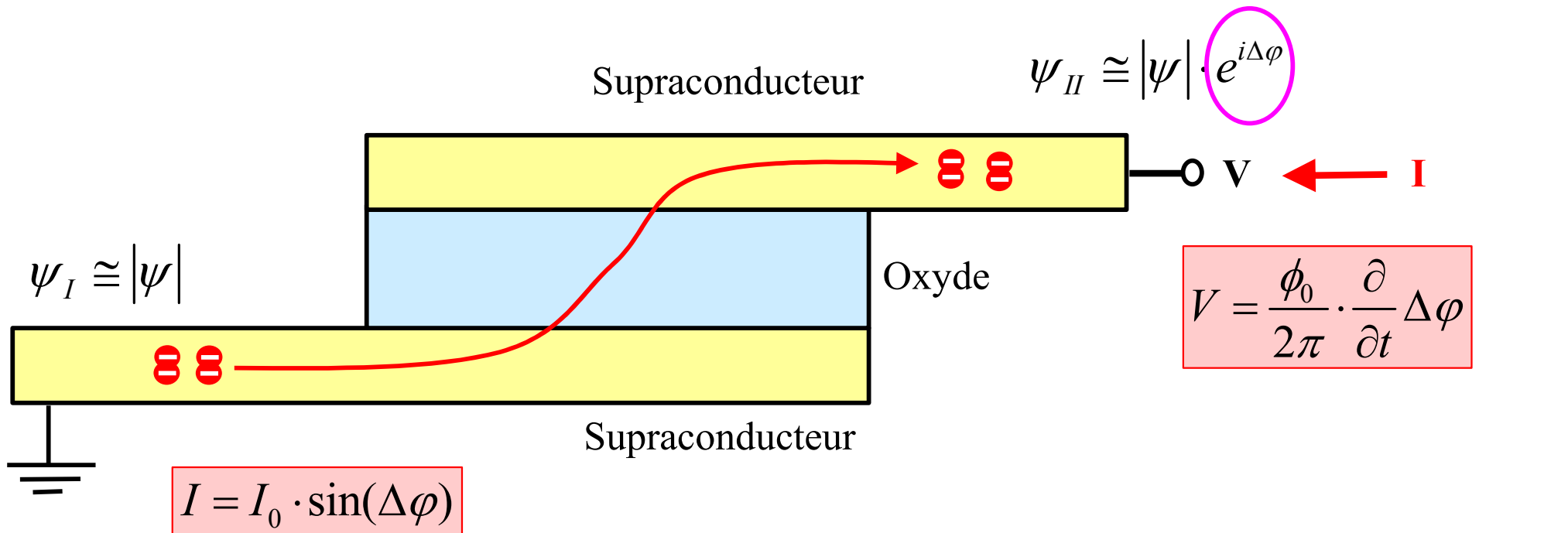


Harmonic spectrum

- Utilisé en sortie comme détecteur
- Autre device nécessaire comme qubit

Jonctions de Josephson et squids

Effet tunnel pour des paires de Cooper à des températures de mK.



$$\phi_0 \equiv \frac{\hbar}{2q}$$

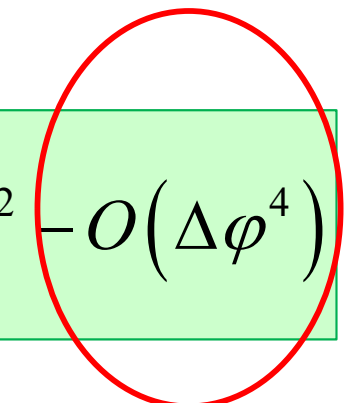
$$\frac{1}{L_0} \equiv 2\pi \frac{I_0}{\phi_0}$$

Hamiltonien «inductif» d'une jonction de Josephson

anharmonicité

Pour une jonction de Josephson:

$$H_J \equiv E_J = \frac{1}{2\pi} I_0 \phi_0 (1 - \cos(\Delta\varphi)) \cong \frac{1}{2} \frac{1}{L_0} \cdot \left(\frac{\phi_0}{2\pi} \right)^2 \Delta\varphi^2 - O(\Delta\varphi^4)$$



Pour une bobine inductive supraconductrice:

Flux magnétique

$$H_J = \frac{1}{2} \frac{1}{L} \cdot \phi^2 = \frac{1}{2} \frac{1}{L} \cdot \left(\frac{\phi_0}{2\pi} \right)^2 \Delta\varphi^2$$

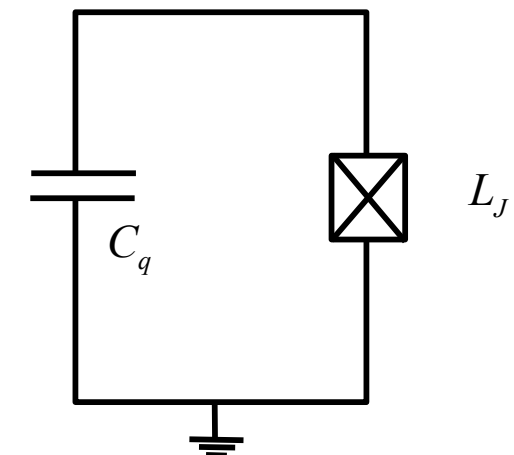
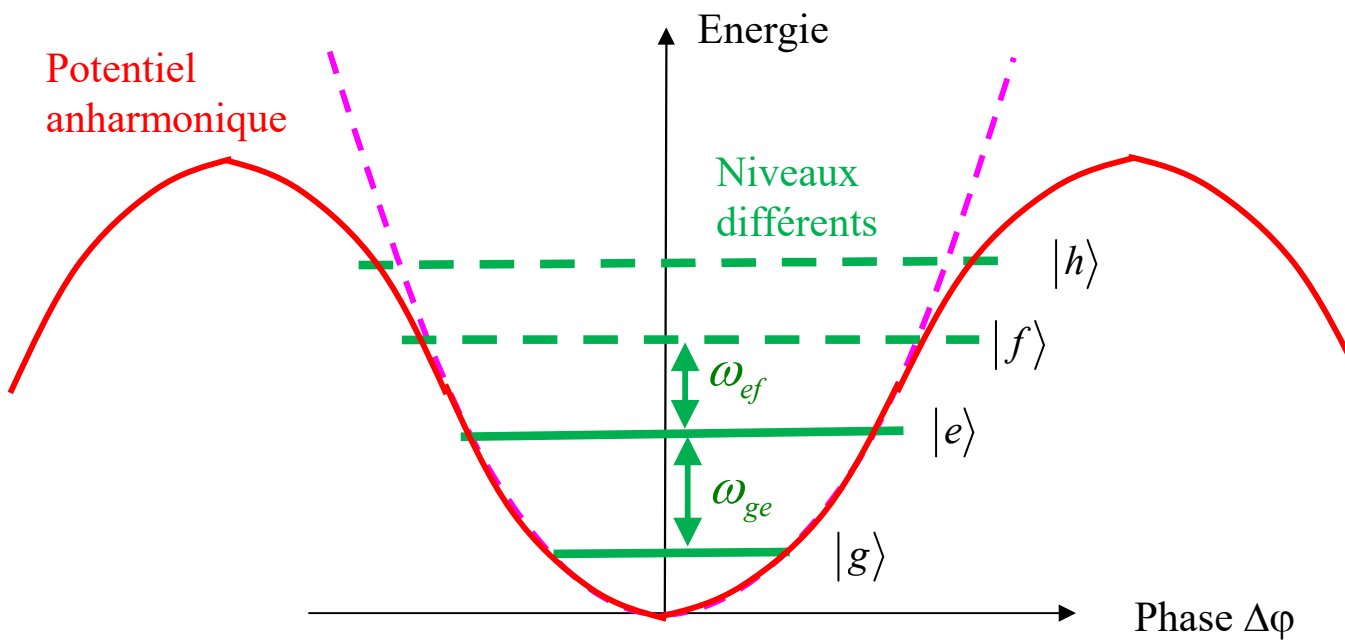
Phase de Berry:

$$\Delta\varphi = \frac{(2q)}{\hbar} \cdot \oint \vec{A} \cdot d\vec{l} = 2\pi \cdot \frac{\phi}{\phi_0}$$

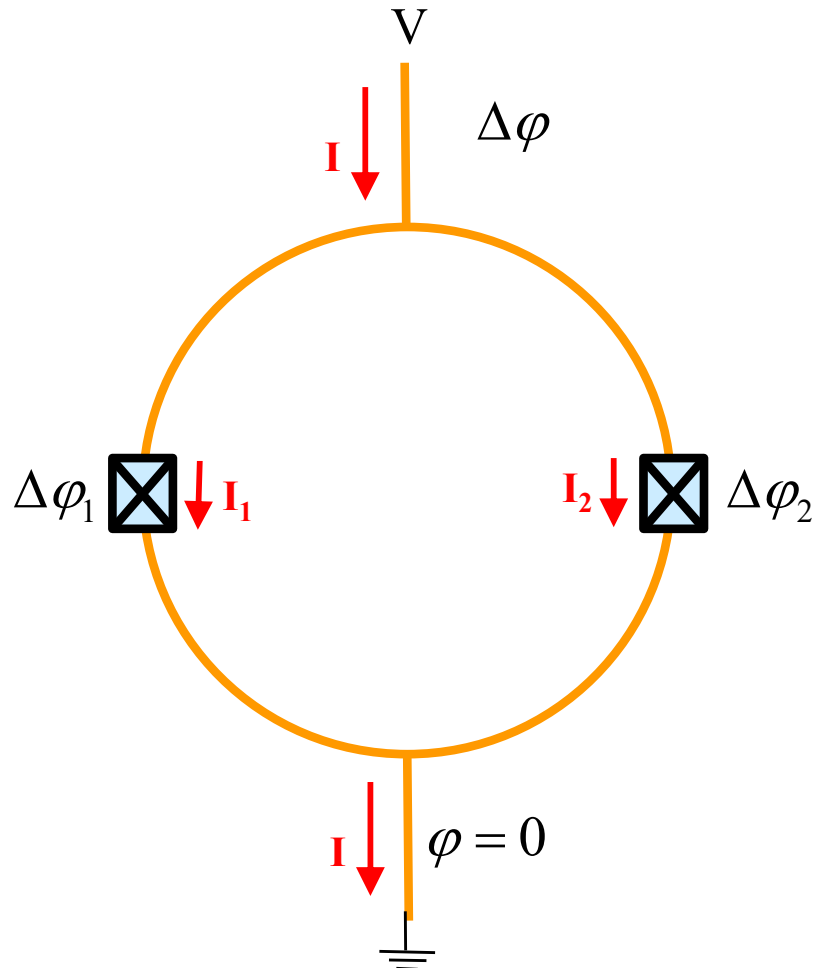
Energie cinétique Energie potentielle

$$H = \frac{1}{2C_q} \cdot Q^2 + \frac{1}{2\pi} I_0 \phi_0 \cdot (1 - \cos(\Delta\varphi)) \cong \frac{1}{2C_q} \cdot Q^2 + \frac{\phi_0}{4\pi} \cdot I_0 \cdot \Delta\varphi^2 - O(\Delta\varphi^4)$$

fixe anharmonicité



Squid sans champ magnétique: deux jonctions de Josephson en parallèle



Phases

$$\Delta\varphi_1 = \Delta\varphi_2 = \Delta\varphi$$

Courants

$$I_1 = I_2$$

$$I = 2I_0 \cdot \sin(\Delta\varphi)$$

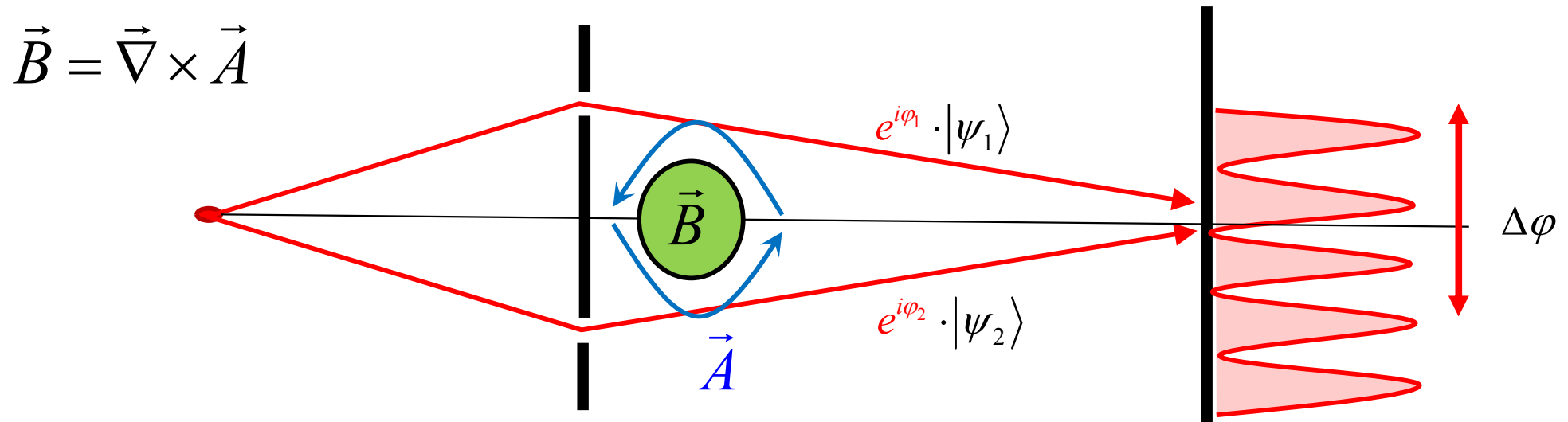
Inductance

$$\frac{1}{L_J} = \frac{1}{L_0} \cdot |\cos(\Delta\varphi)|$$

$$\frac{1}{L_0} \equiv 2\pi \frac{2I_0}{\phi_0}$$

Energie

$$E_J = \frac{1}{2\pi} \cdot 2I_0 \cdot \phi_0 \cdot (1 - \cos(\Delta\varphi))$$



Hamiltonien:

$$H = \frac{1}{2m_e} \left(\frac{\hbar}{i} \vec{\nabla} - q \vec{A} \right)^2$$

Modes propres: $e^{i\phi_1} \cdot |\psi_1\rangle$ $e^{i\phi_2} \cdot |\psi_2\rangle$

Phase de Berry

$$\varphi = \frac{q}{\hbar} \cdot \int_0^x \vec{A} \cdot d\vec{l}$$

$$\Delta\phi \equiv \phi_1 - \phi_2 = \frac{q}{\hbar} \cdot \oint \vec{A} \cdot d\vec{l} = \frac{q}{\hbar} \cdot \iint \vec{B} \cdot d\vec{S} = 2\pi \cdot \frac{q}{h} \cdot \phi_{mag}$$

Squid avec champ magnétique

$$\sin(x-y) + \sin(x+y) = 2 \cos(y) \cdot \sin(x)$$

$$I = \tilde{I}_0(\phi) \cdot \sin(\Delta\varphi)$$

$$V = \frac{\phi_0}{2\pi} \cdot \frac{\partial}{\partial t} \Delta\varphi$$

$$\frac{1}{L_J} = \frac{1}{L_0} \cdot |\cos(\Delta\varphi)|$$

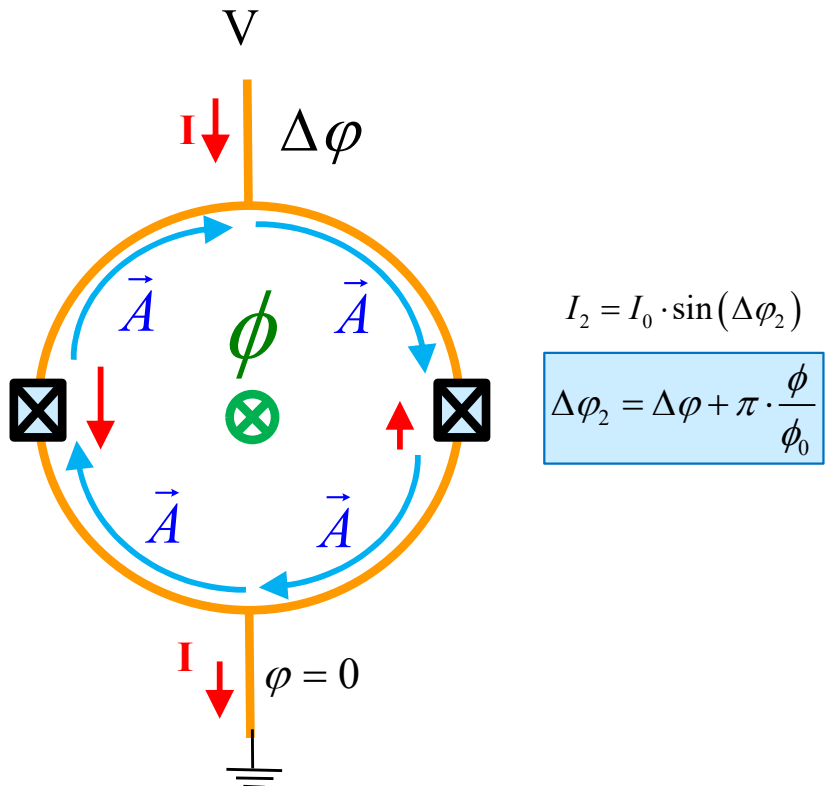
$$\frac{1}{L_0} \equiv 2\pi \cdot \frac{\tilde{I}_0(\phi)}{\phi_0}$$

$$E_J(\phi, \varphi) = \frac{1}{2\pi} \cdot \tilde{I}_0(\phi) \cdot \phi_0 \cdot (1 - \cos(\Delta\varphi)) \approx \frac{1}{4\pi} \cdot \tilde{I}_0(\phi) \cdot \phi_0 \cdot \Delta\varphi^2$$

contrôlable

$$I_1 = I_0 \cdot \sin(\Delta\varphi_1)$$

$$\Delta\varphi_1 = \Delta\varphi - \pi \cdot \frac{\phi}{\phi_0}$$

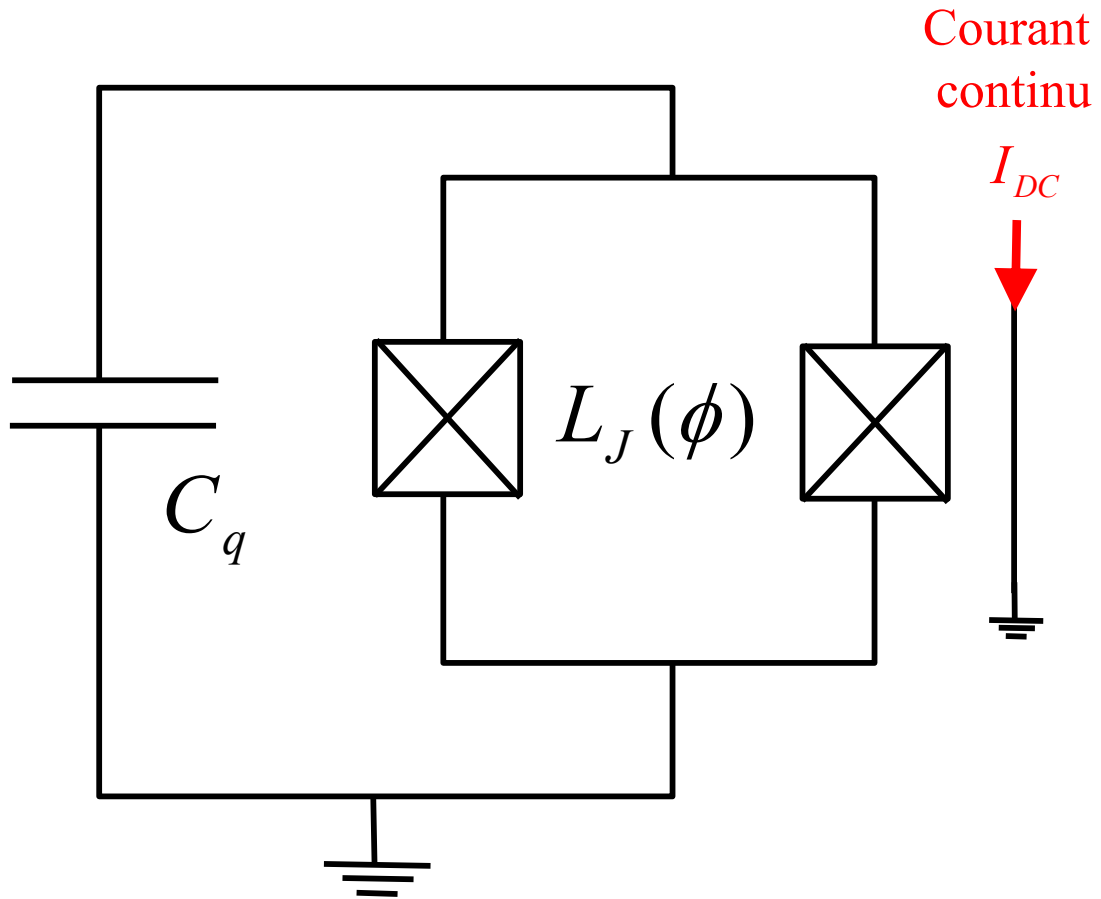


$$I_2 = I_0 \cdot \sin(\Delta\varphi_2)$$

$$\Delta\varphi_2 = \Delta\varphi + \pi \cdot \frac{\phi}{\phi_0}$$

$$\tilde{I}_0(\phi) = 2I_0 \cos\left(\pi \cdot \frac{\phi}{\phi_0}\right)$$

Résonateur anharmonique: Qubit supraconducteur



$$\frac{1}{L_J(\Delta\phi, \phi)} \equiv \frac{1}{L_0(\phi)} \cdot |\cos(\Delta\phi)|$$

$$\frac{1}{L_0(\phi)} \equiv 2\pi \frac{\tilde{I}_0(\phi)}{\phi_0}$$

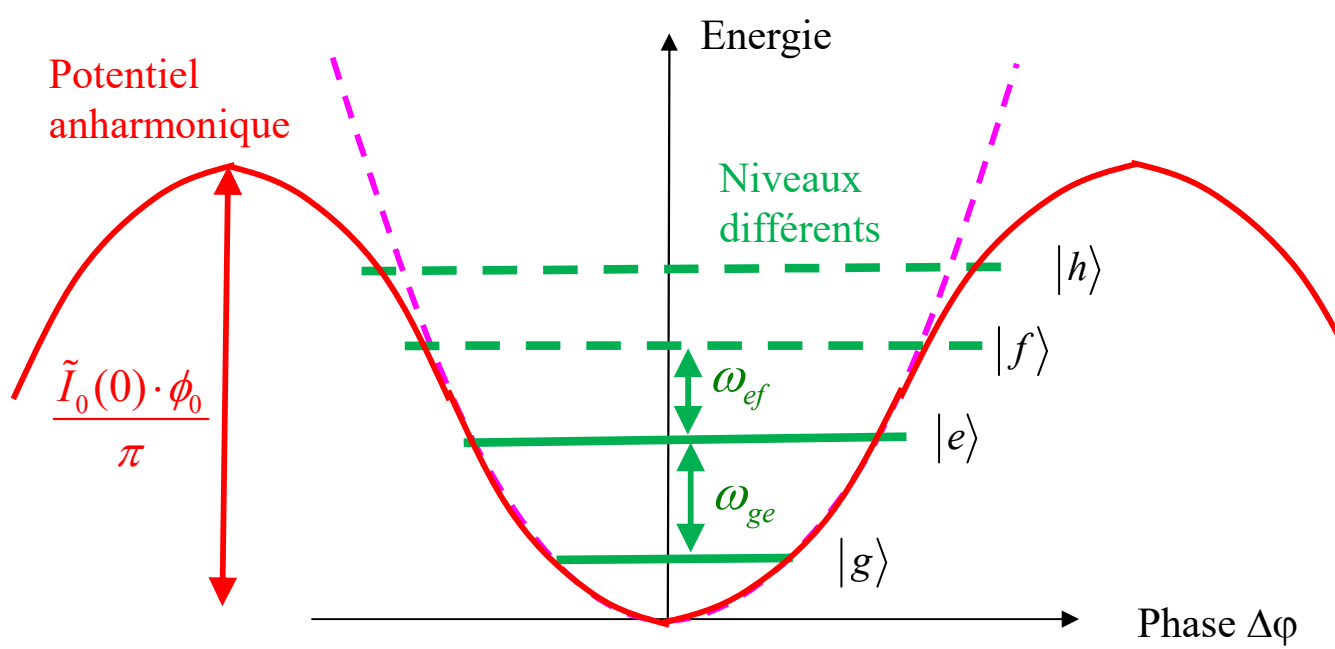
Fréquence

$$\omega_q(\phi) \equiv \frac{1}{\sqrt{L_0(\phi)C_q}} \approx \sqrt{\left| \cos\left(\pi \cdot \frac{\phi}{\phi_0}\right) \right|}$$

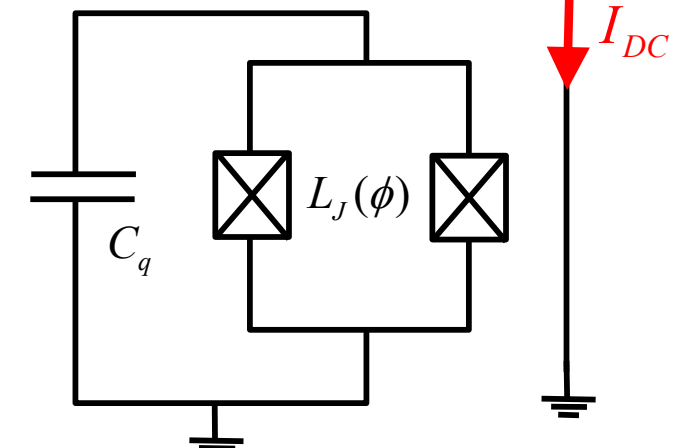
Energie
cinétique

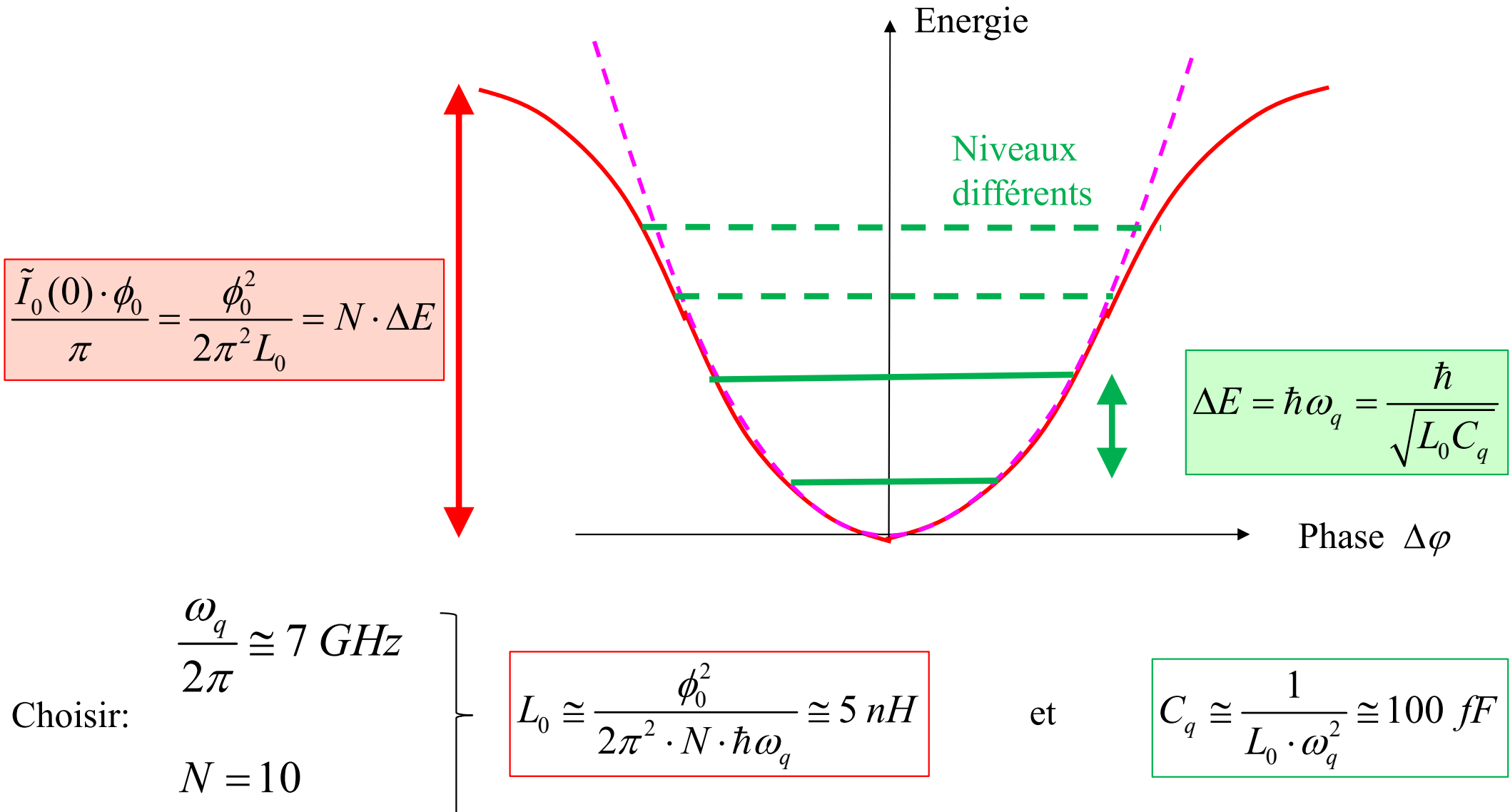
Energie
potentielle

$$H = \frac{1}{2C_q} \cdot Q^2 + \frac{\tilde{I}_0(\phi) \cdot \phi_0}{\pi} \cdot \frac{(1 - \cos(\Delta\phi))}{2} \cong \frac{1}{2C_q} \cdot Q^2 + \left(\frac{\phi_0}{4\pi} \cdot \tilde{I}_0(\phi) \right) \cdot \Delta\phi^2 - O(\Delta\phi^4)$$

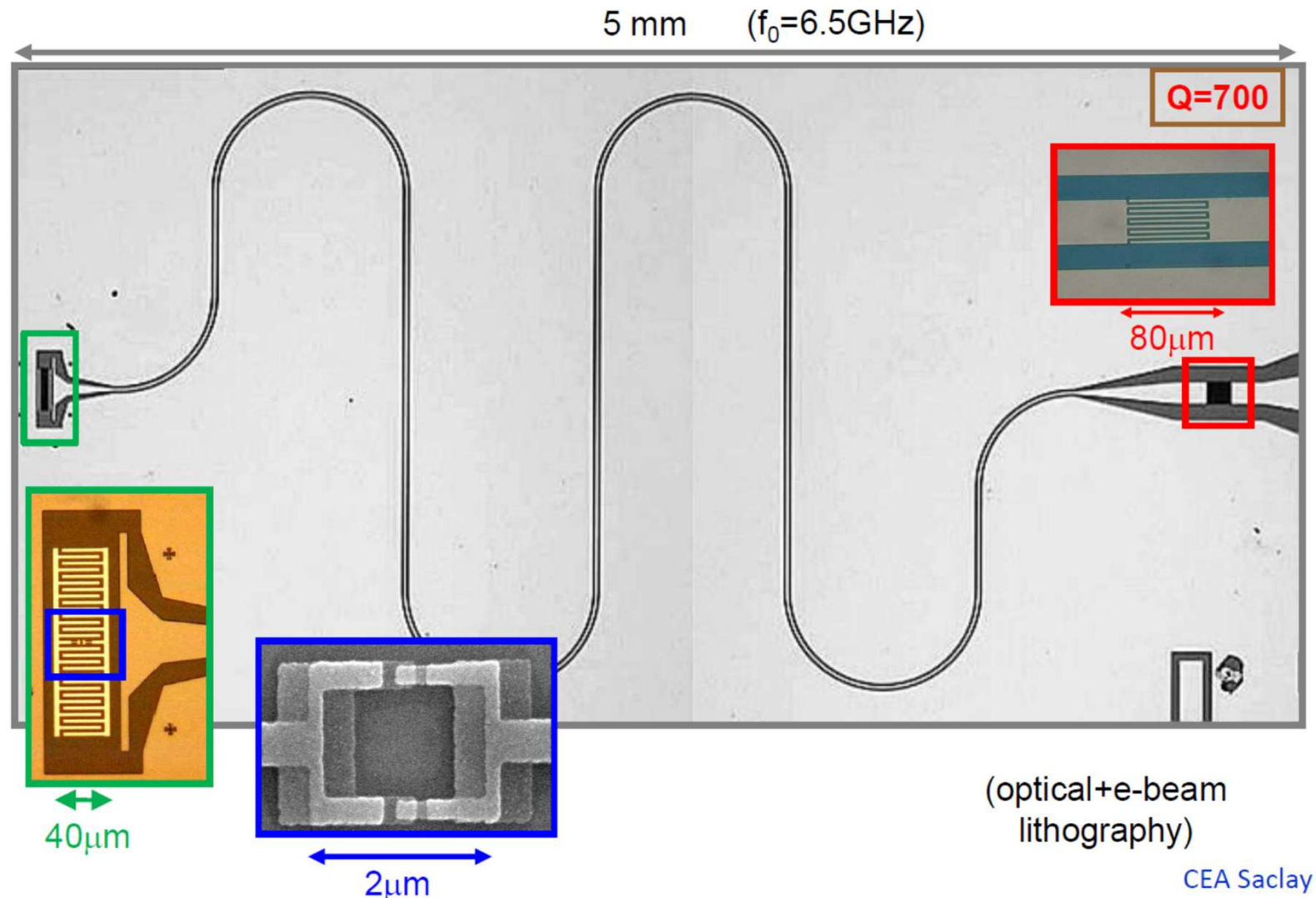


Courant
continu

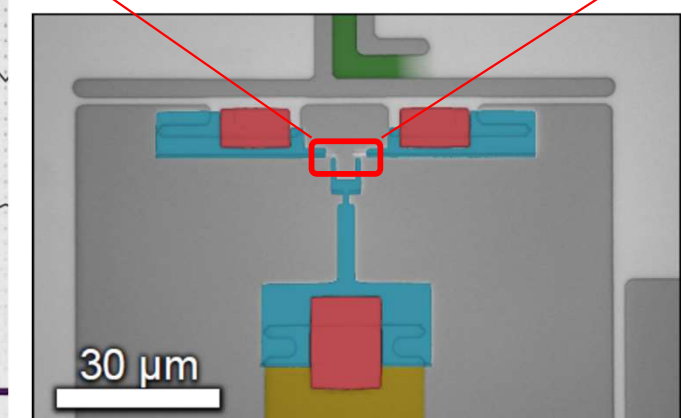
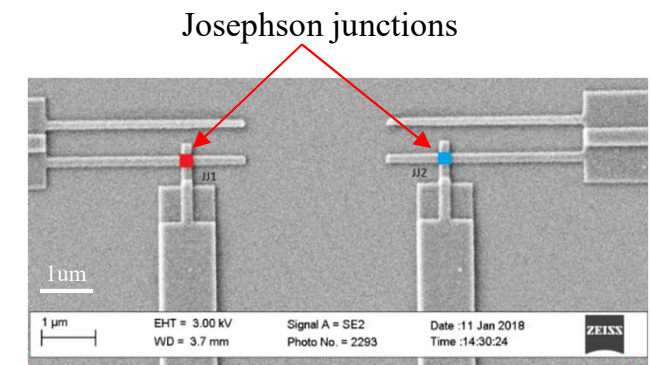
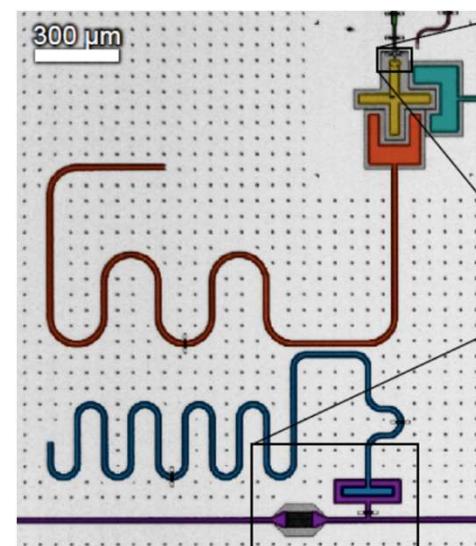
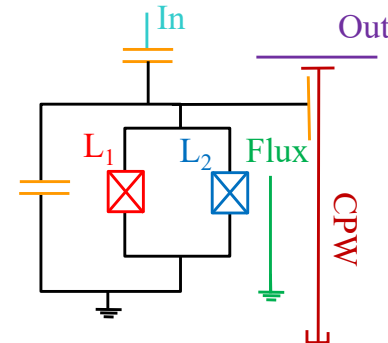
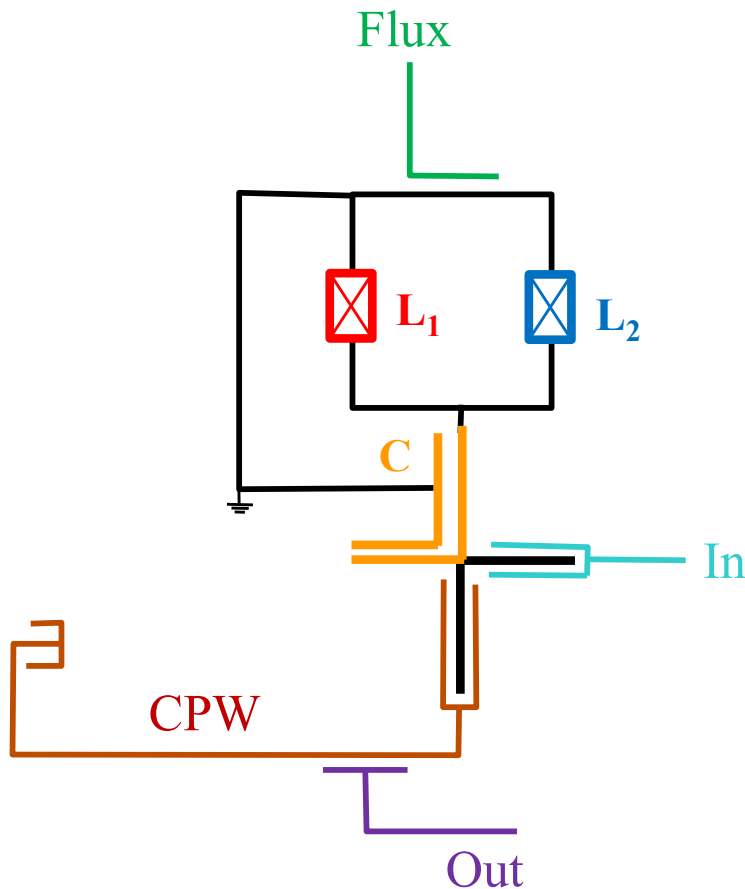




Exemples de transmons

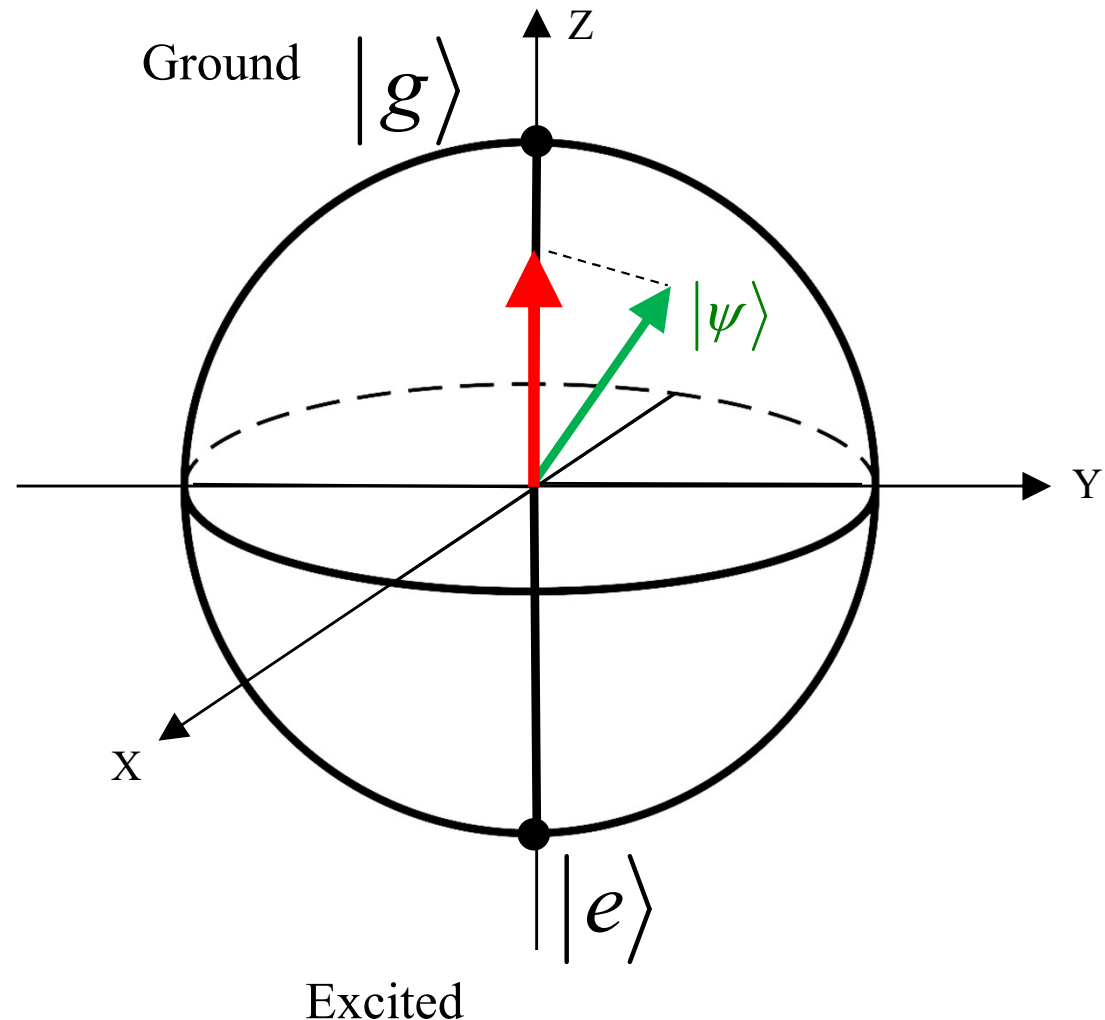


Exemples de transmons



<https://www.nature.com/articles/s41534-019-0185-4>

**Couplage
avec un résonateur:
Mesures en résonnance**

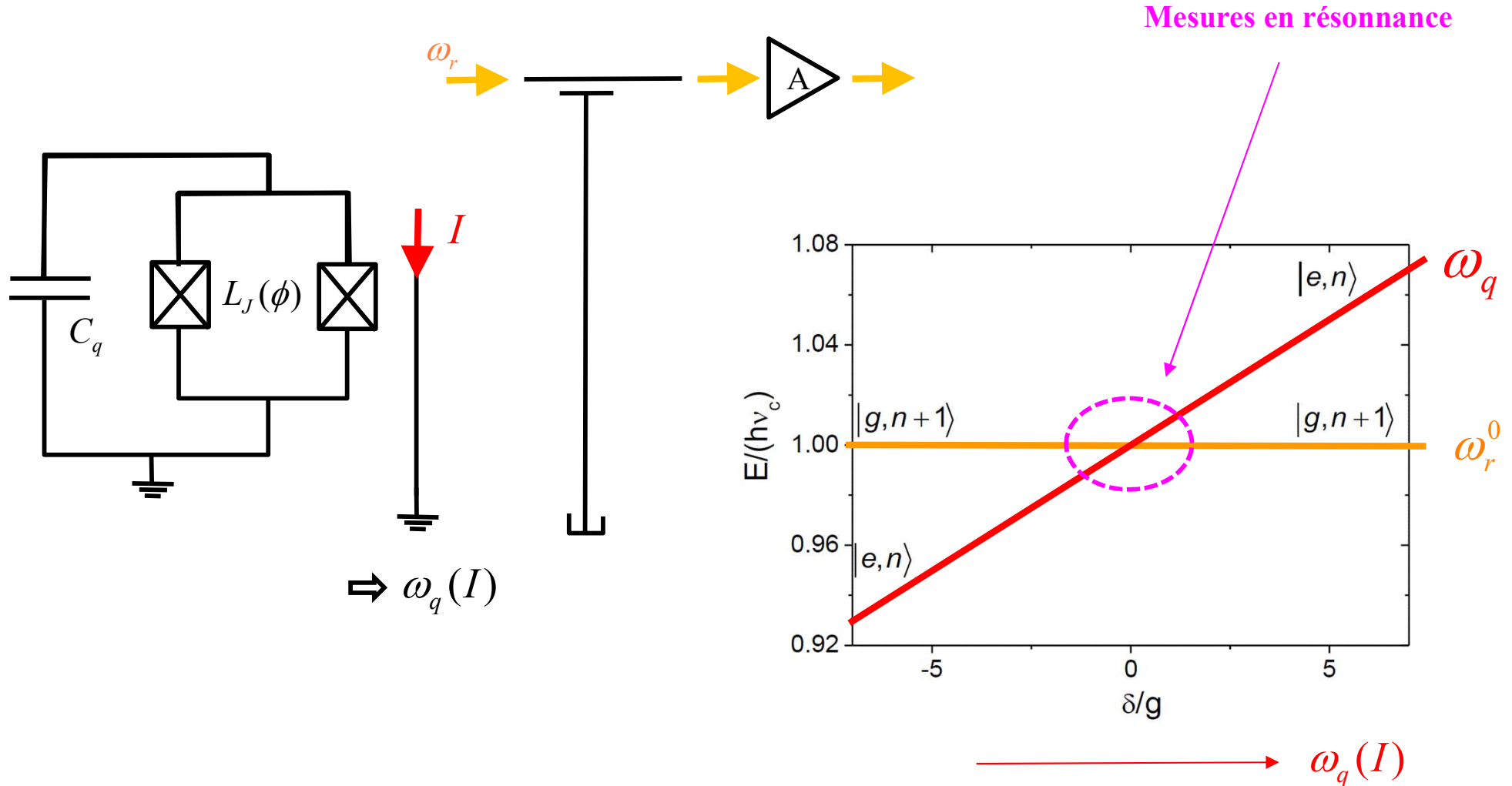


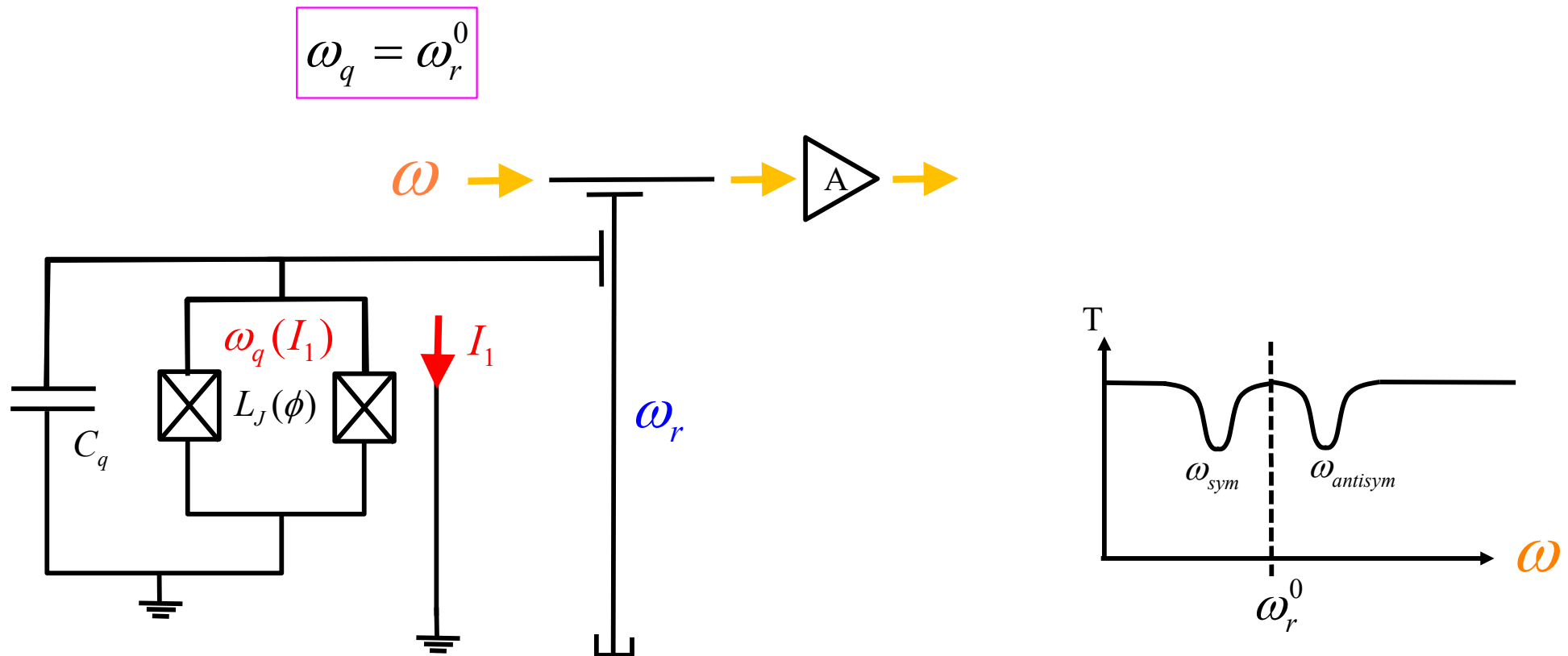
Mesures en Z

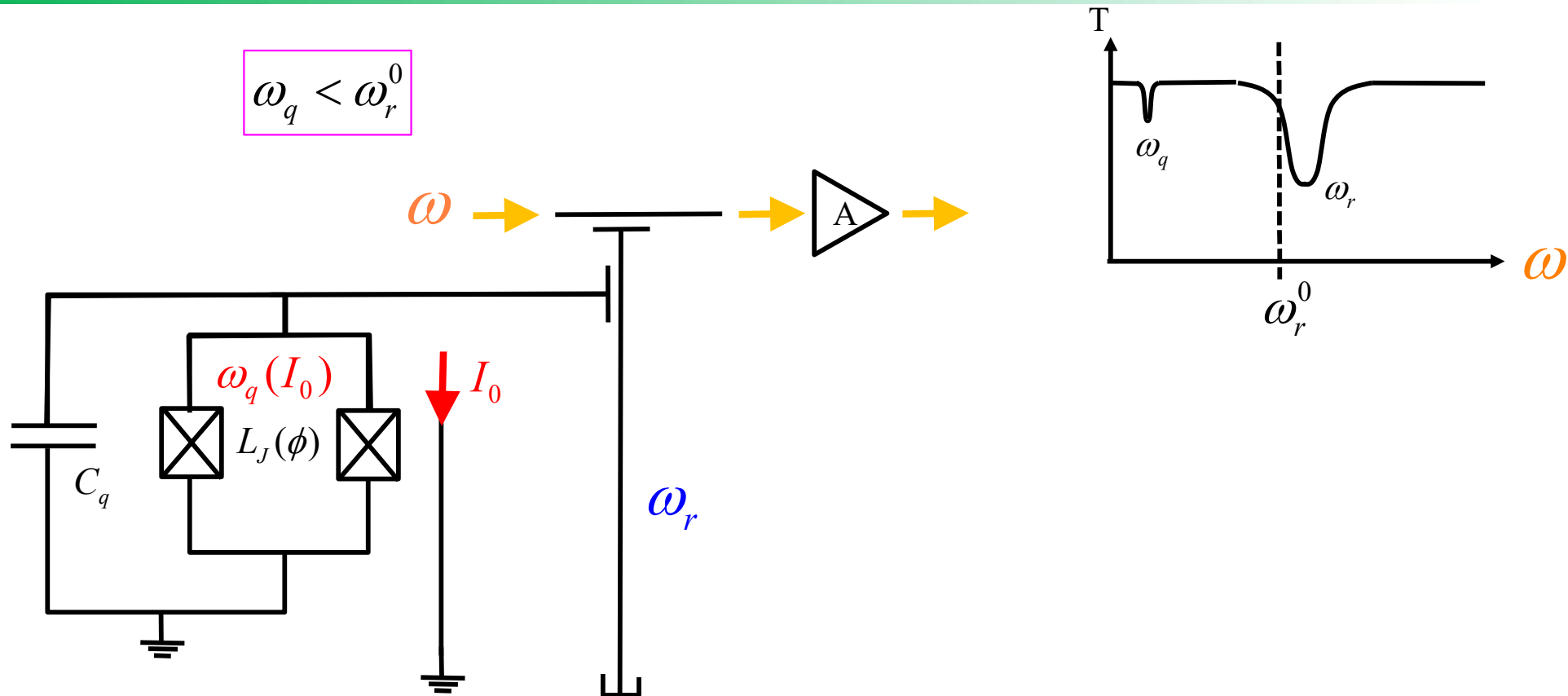
$$\langle \sigma_z \rangle$$

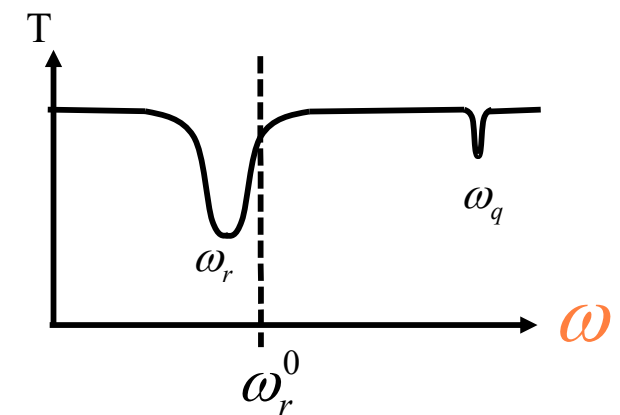
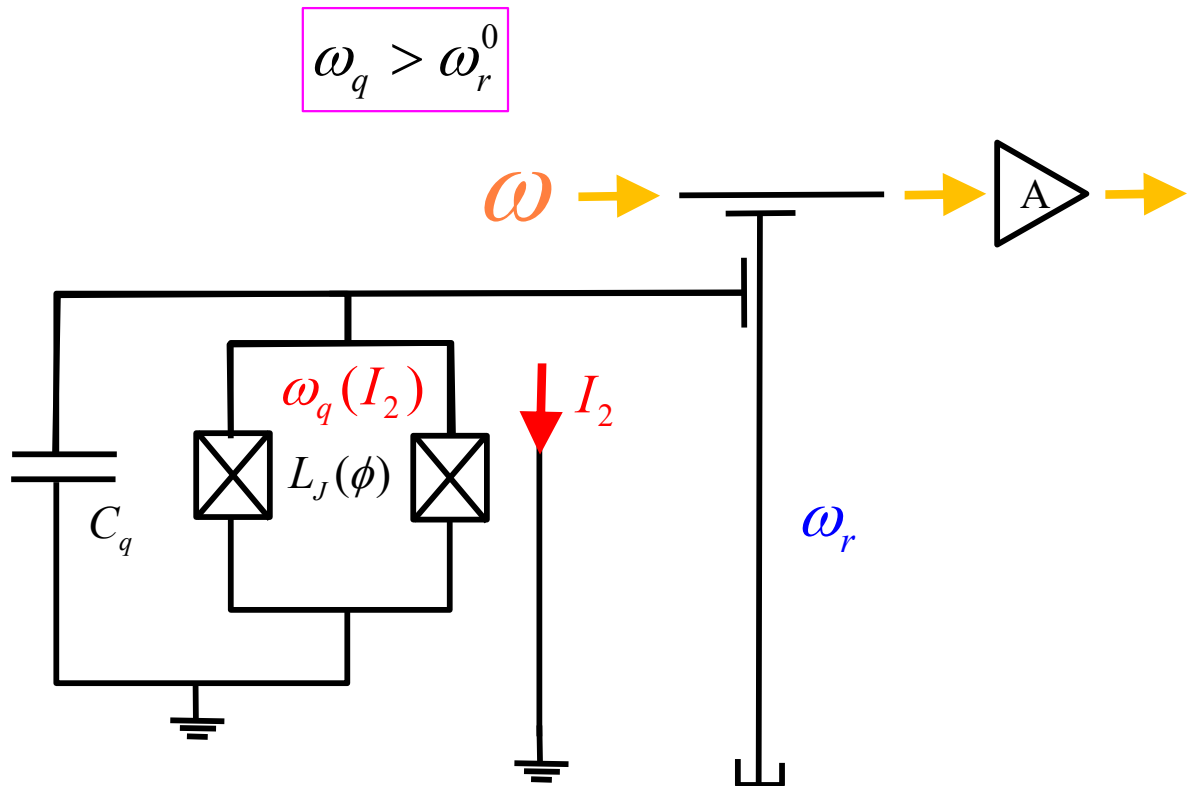
$$P_g \equiv |\langle g | \psi \rangle|^2 = \frac{1 + \langle \sigma_z \rangle}{2}$$

$$P_e \equiv |\langle e | \psi \rangle|^2 = \frac{1 - \langle \sigma_z \rangle}{2}$$



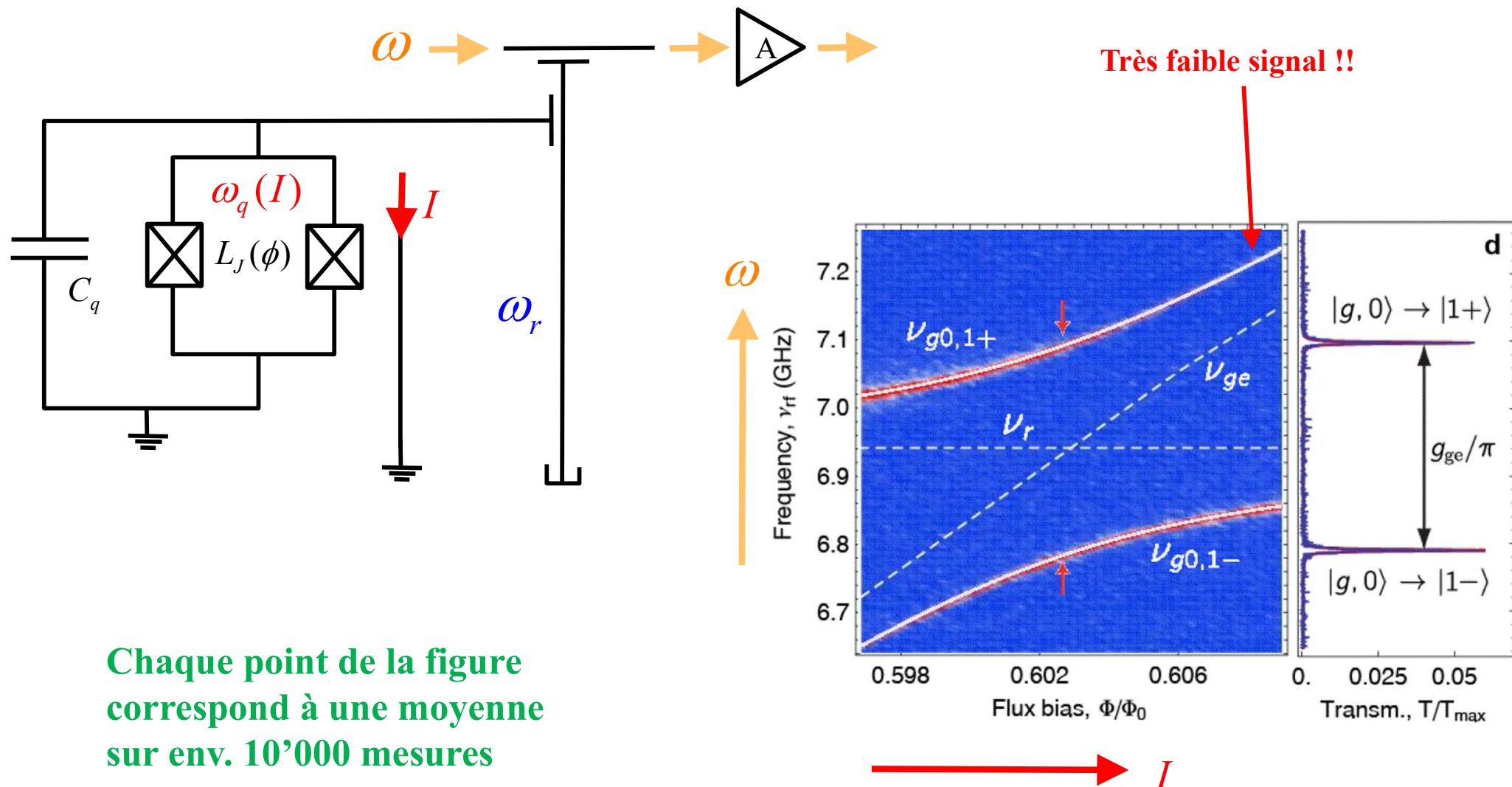




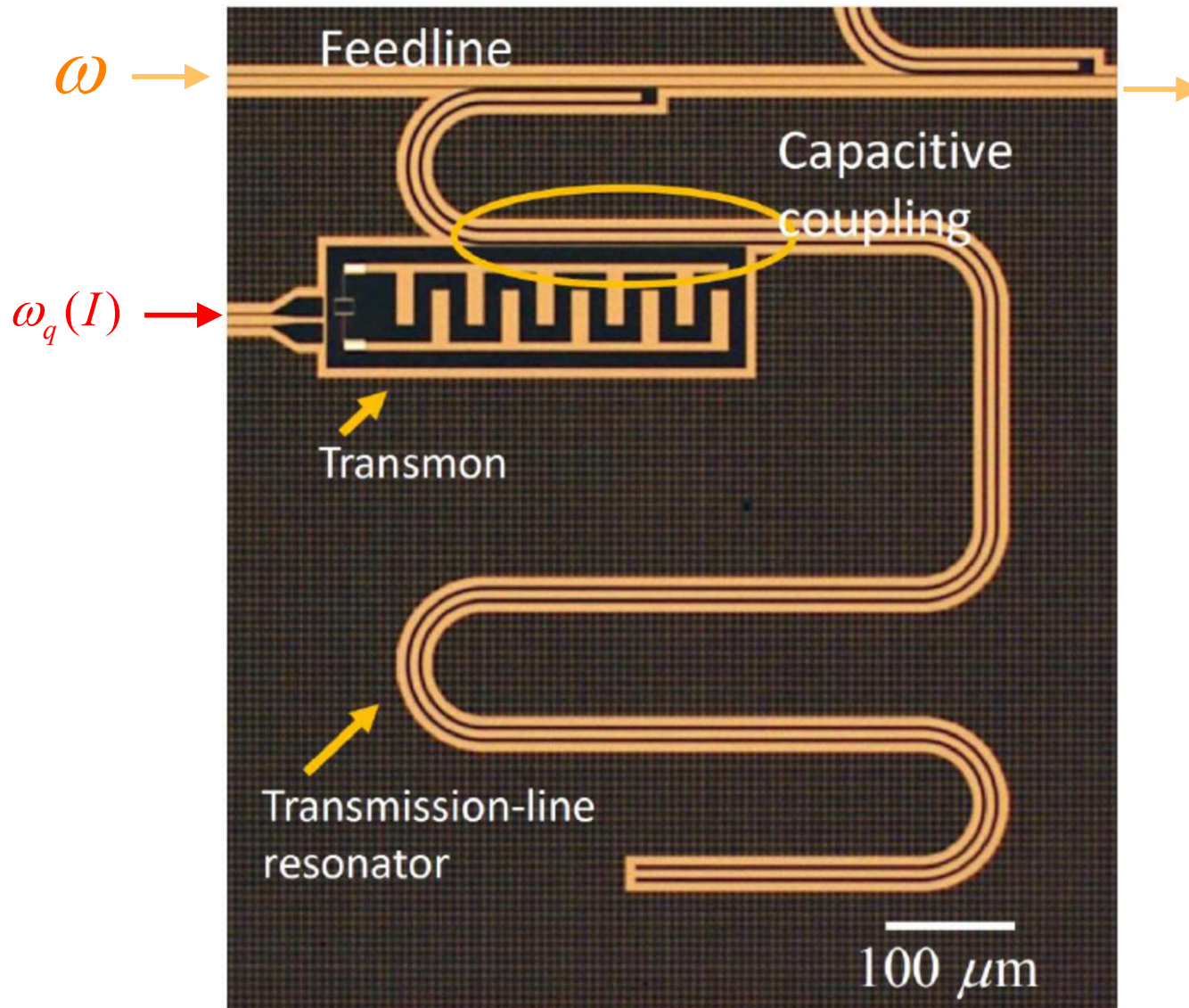


Transmon et résonateur couplés: Mesures en résonnance

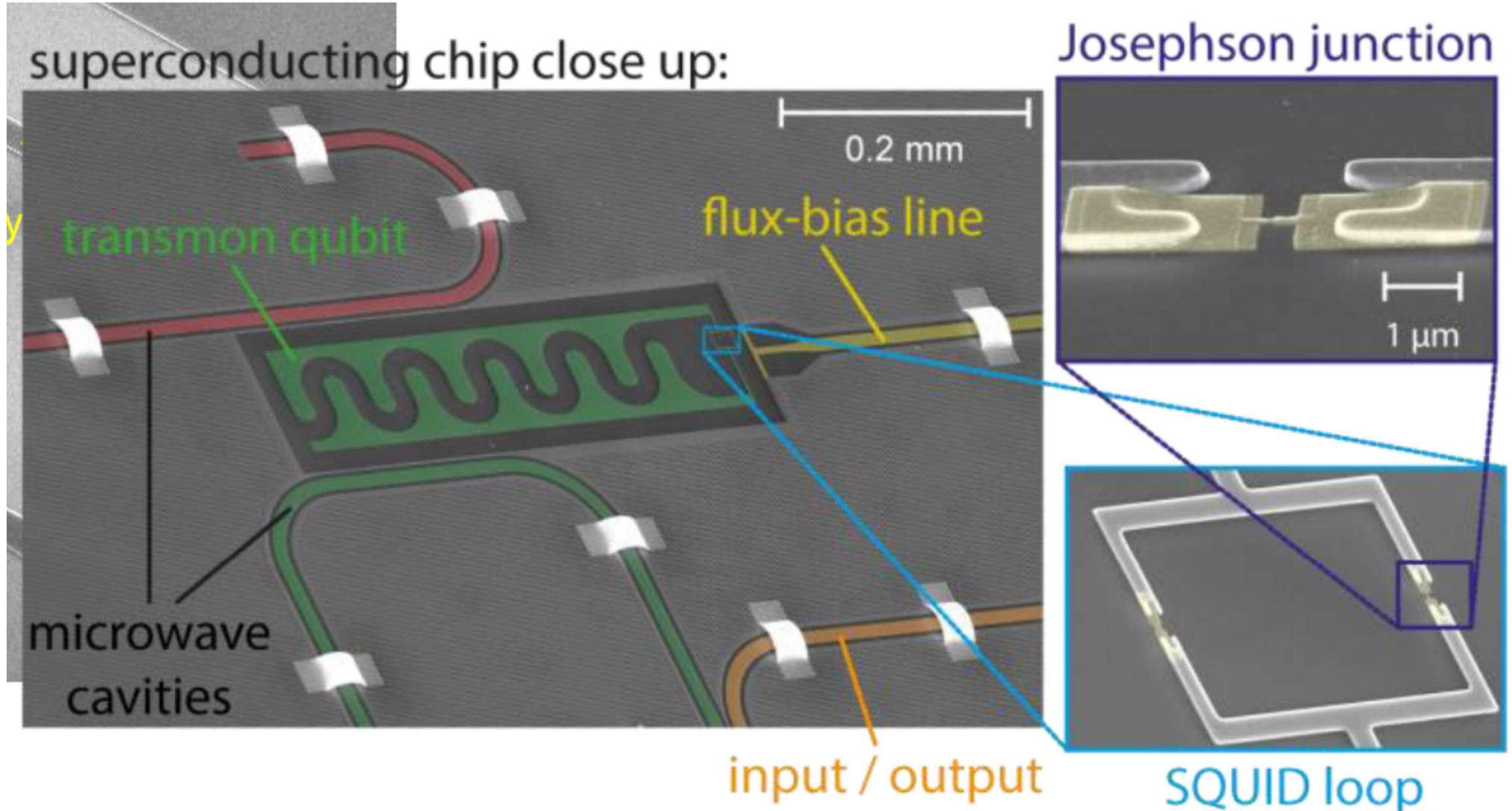
J. Fink et al., *Nature (London)* **454**, 315 (2008)



Transmons et résonateur couplés: exemples

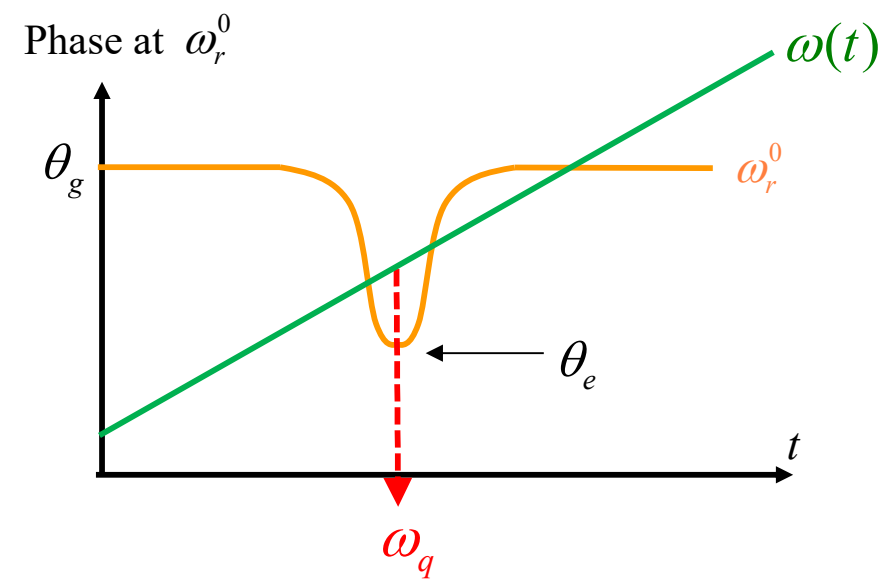
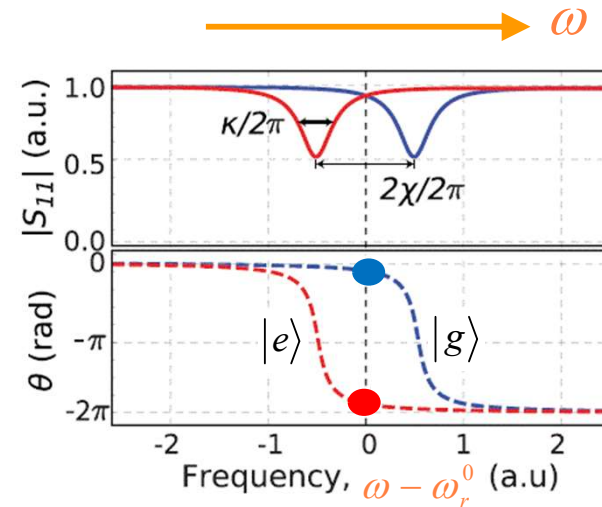
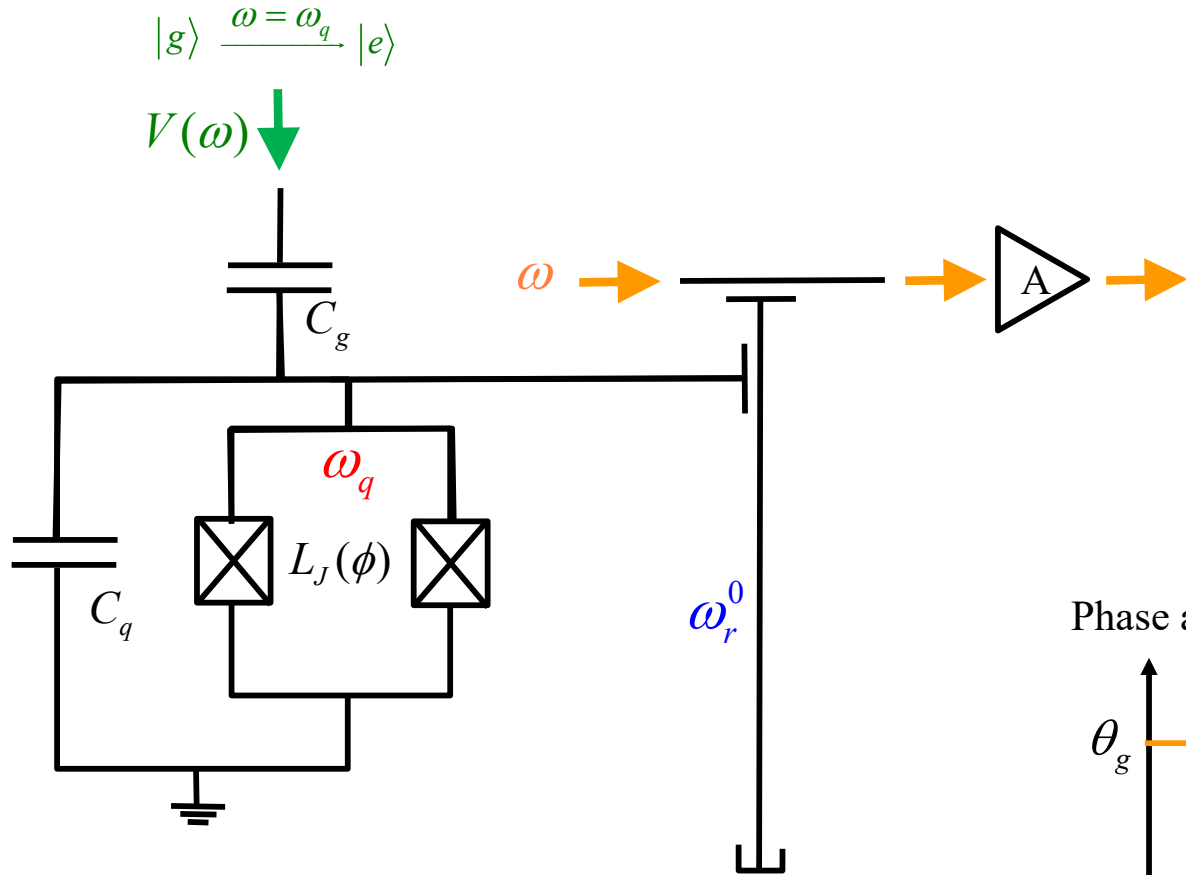


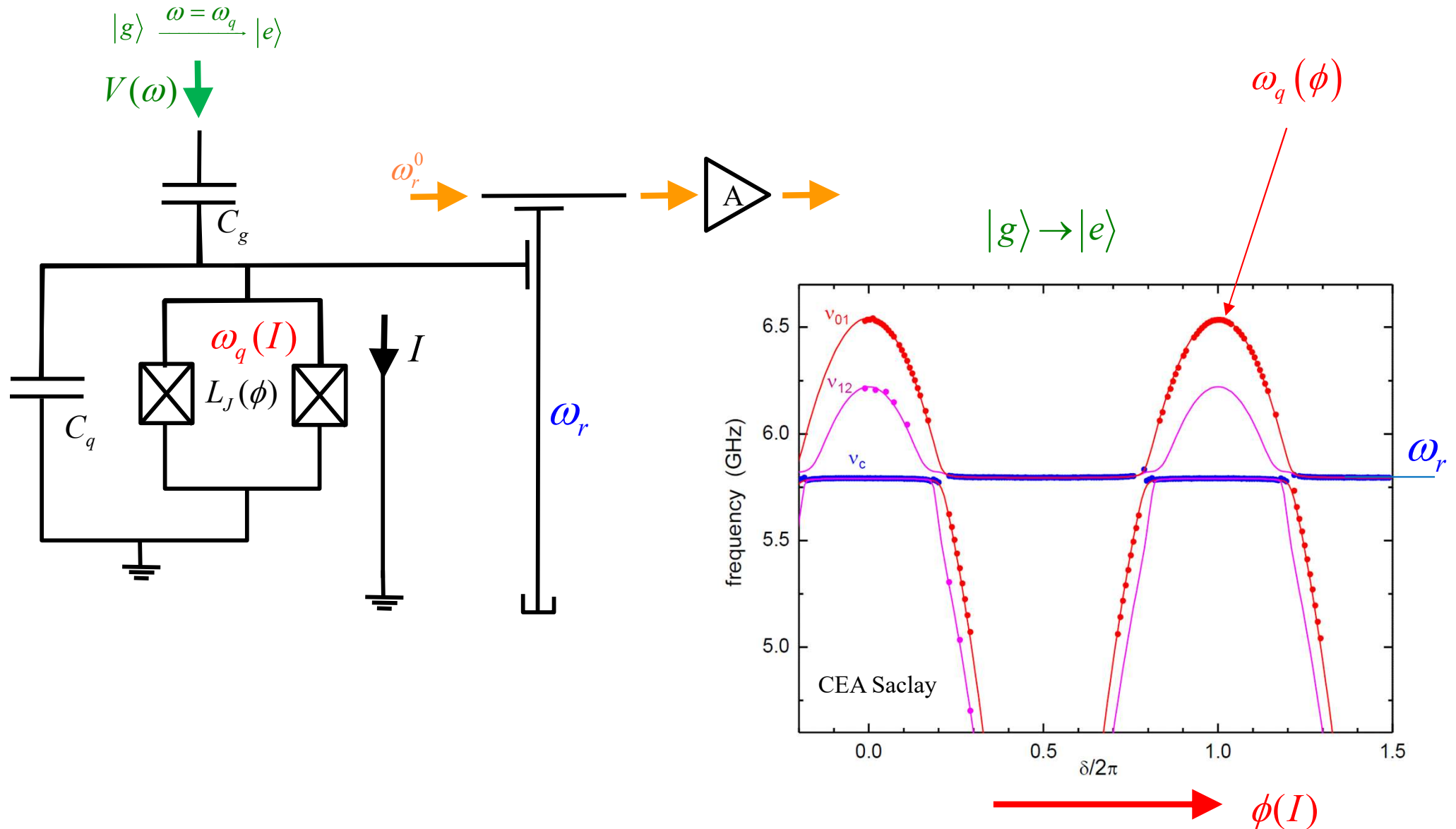
Transmon et résonateur couplés: exemples



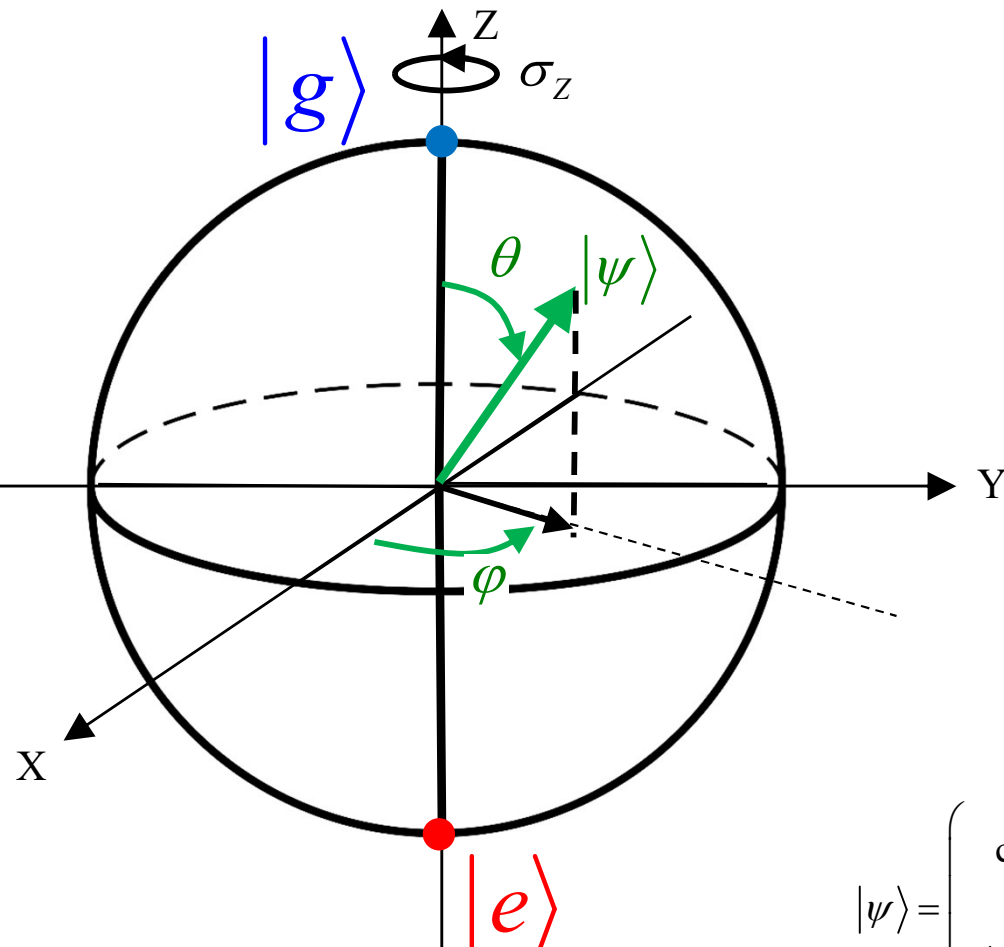
<https://blog.qutec.nl/2017/08/13/how-to-make-artificial-atoms-out-of-electrical-circuits-part-ii-circuit-quantum-electrodynamics-and-the-transmon/>

Qubit supraconducteur: Régime dispersif et Mesures en quantum non-demolition



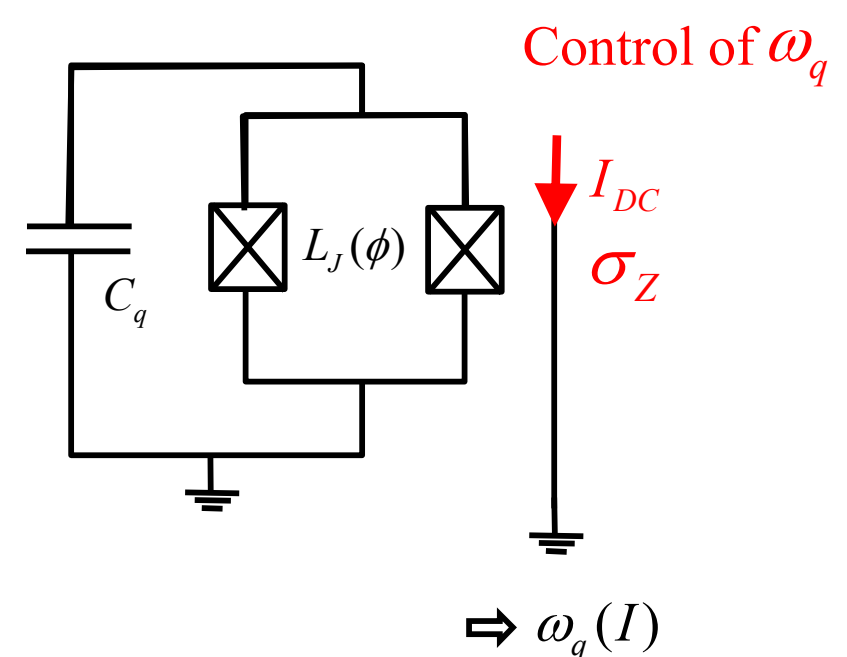


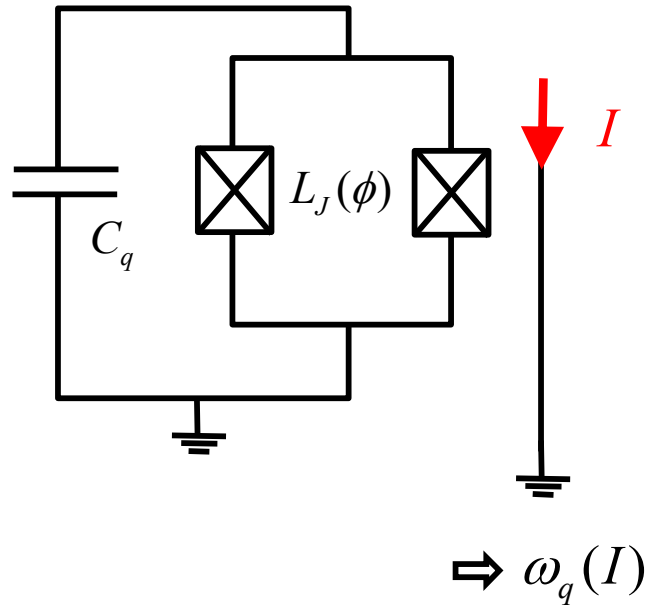
Qubit supraconducteur: Rotation σ_z



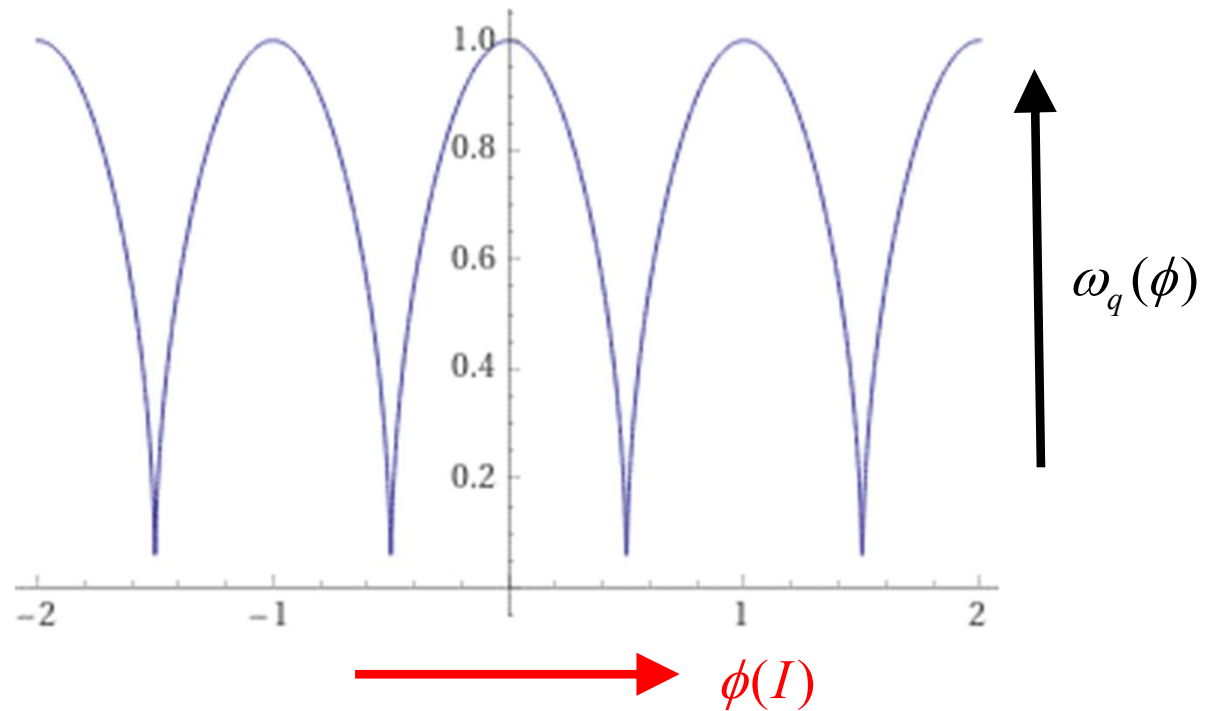
$$|\psi\rangle = \begin{pmatrix} \cos\left(\frac{\theta}{2}\right) \\ e^{i\varphi} \cdot \sin\left(\frac{\theta}{2}\right) \end{pmatrix}$$

$$\omega_q(\phi) = \frac{1}{\sqrt{L_J(\phi)C_q}}$$





$$\omega_q(\phi) \equiv \frac{1}{\sqrt{L_J(\phi)C_q}} \approx \sqrt{\left| \cos\left(\frac{1}{\pi} \cdot \frac{\phi}{\phi_0}\right) \right|}$$



Qubit supraconducteur: Rotation σ_x et σ_y

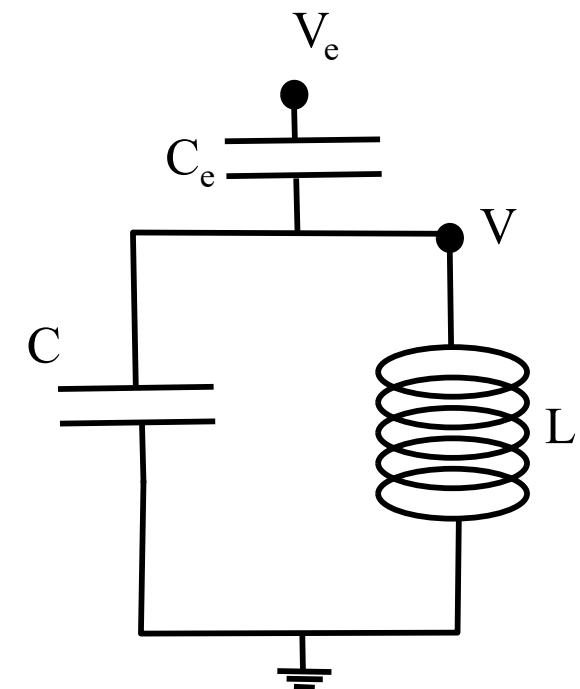
Rappel:
Exercice 9.2: Hamiltonien d'excitation

$$H_e \approx -C_e \cdot V_e \cdot \textcolor{red}{V} = -C_e \cdot V_e \cdot \frac{Q}{(C + C_e)}$$

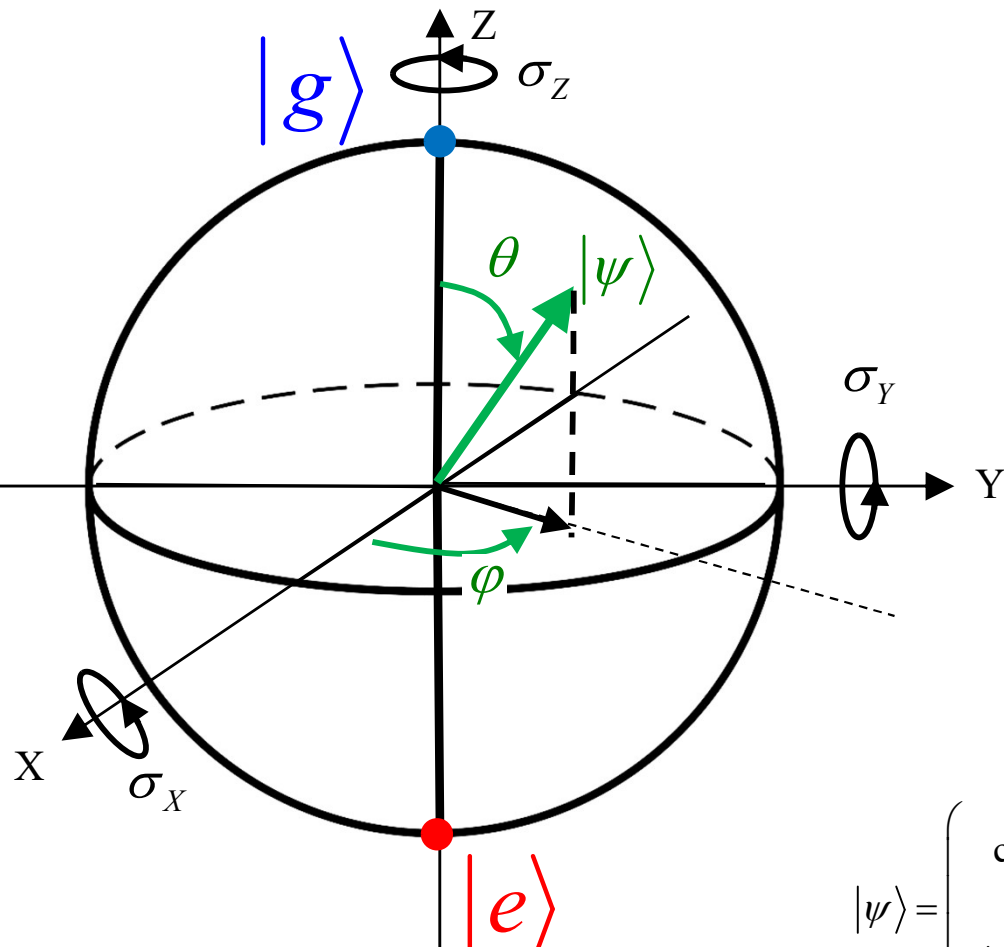
$$H_e \approx \frac{C_e}{C + C_e} \cdot V_e \cdot \left(\frac{\hbar^2 \cdot (C + C_e)}{4 \cdot L} \right)^{1/4} \cdot i \cdot (a_+ - a_-)$$

$$H_e = g \cdot V_e \cdot \begin{pmatrix} 0 & -i \\ i & 0 \end{pmatrix} = g \cdot V_e \cdot \sigma_Y$$

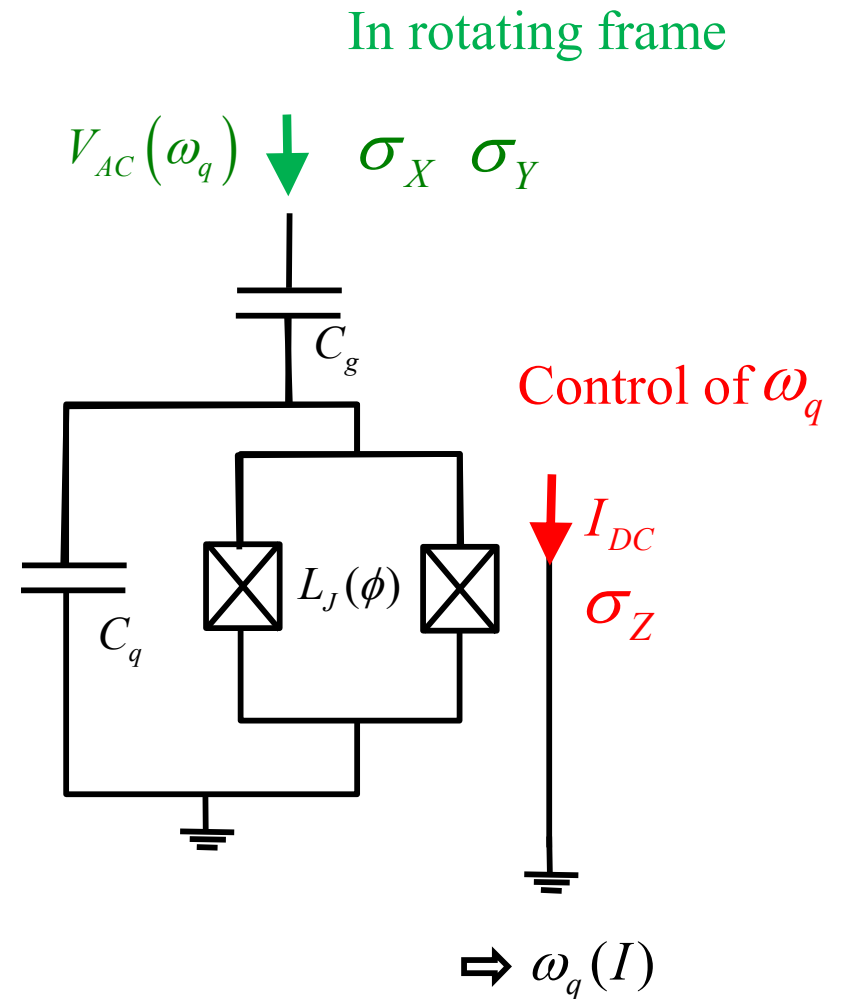
Oscillateur Harmonique LC



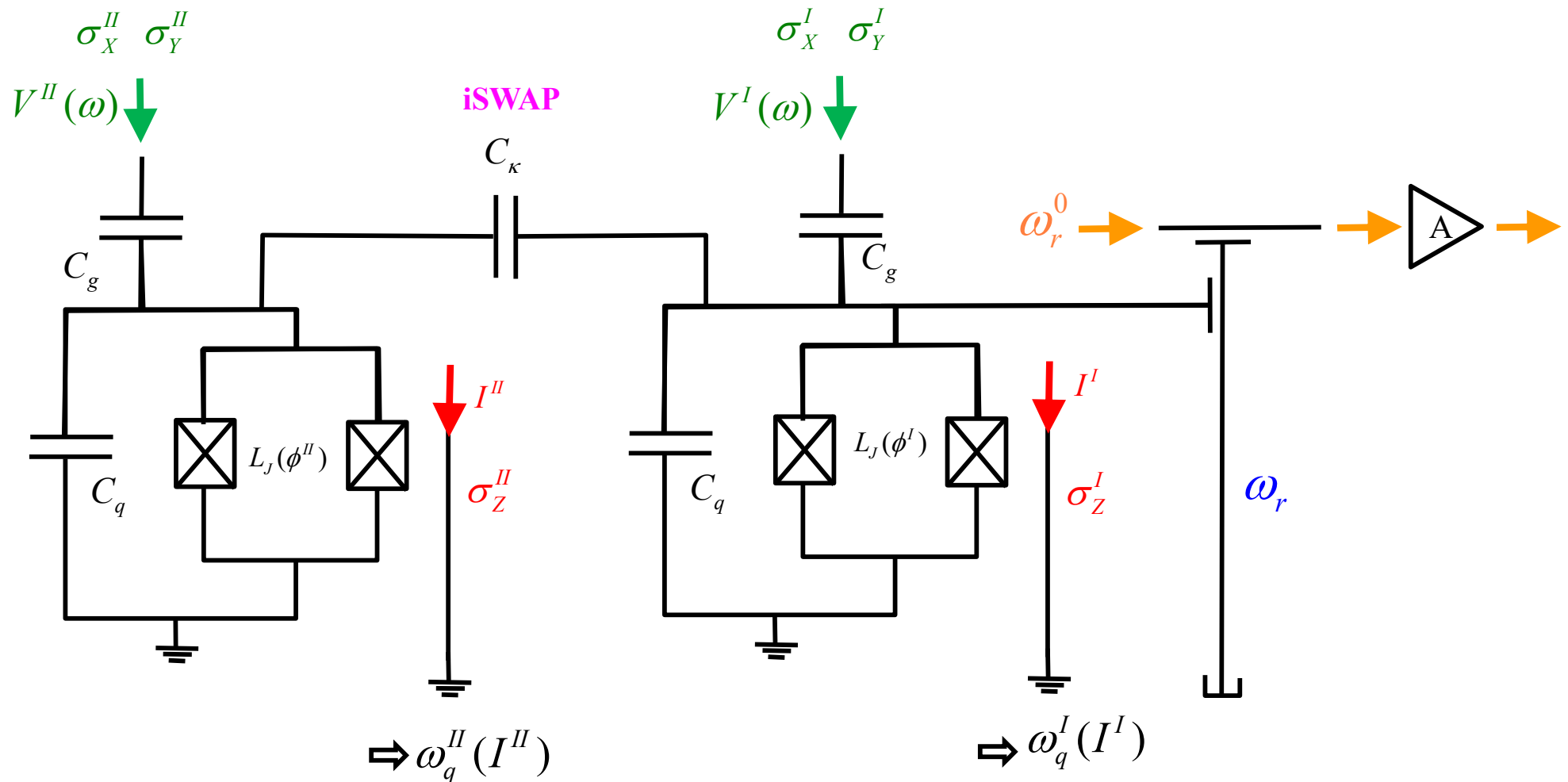
Contrôle par couplage capacitif AC dans le référentiel tournant



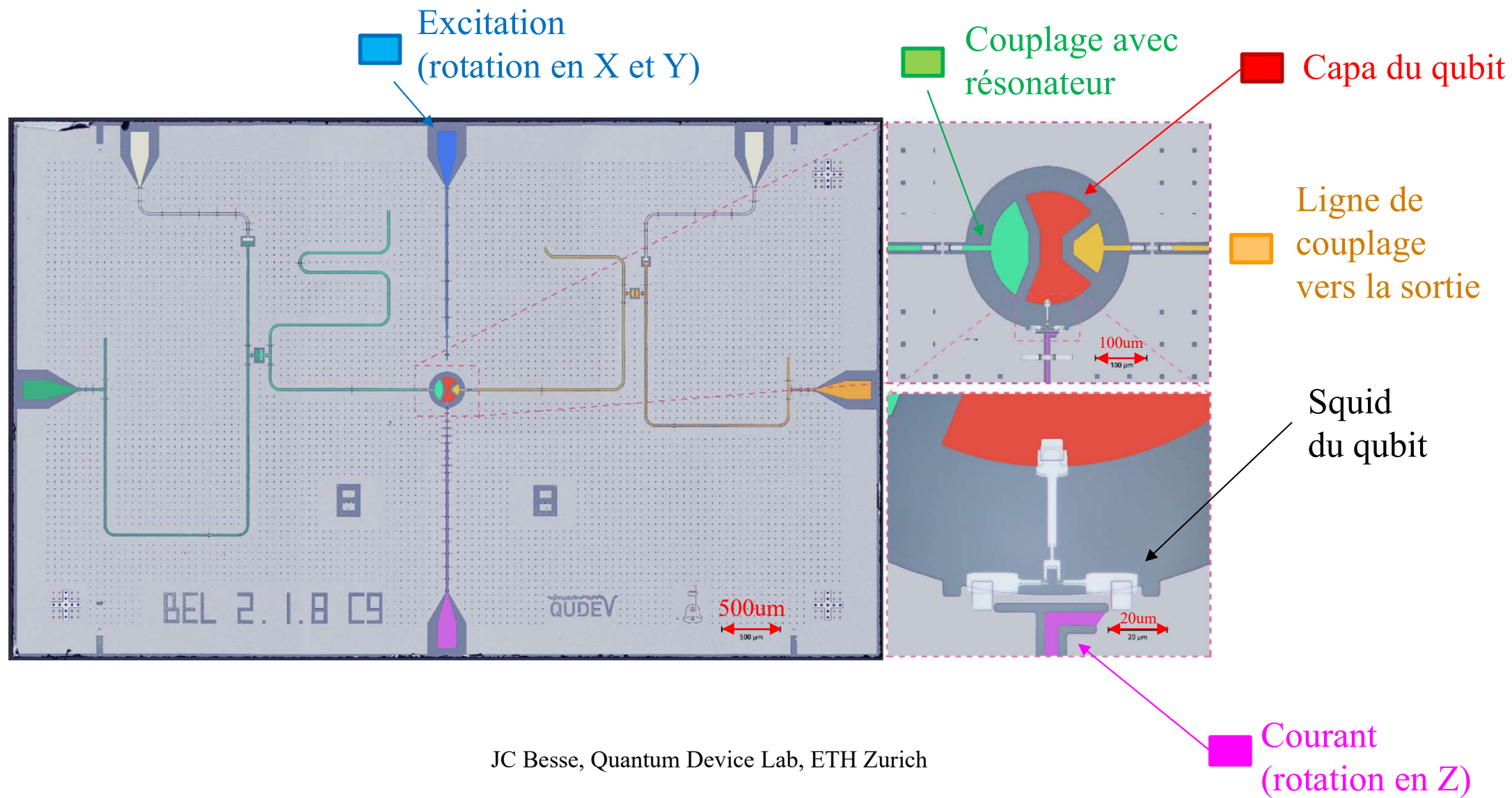
$$|\psi\rangle = \begin{pmatrix} \cos\left(\frac{\theta}{2}\right) \\ e^{i\varphi} \cdot \sin\left(\frac{\theta}{2}\right) \end{pmatrix}$$



Qubit supraconducteur: Paire de qubits couplés (iSWAP)

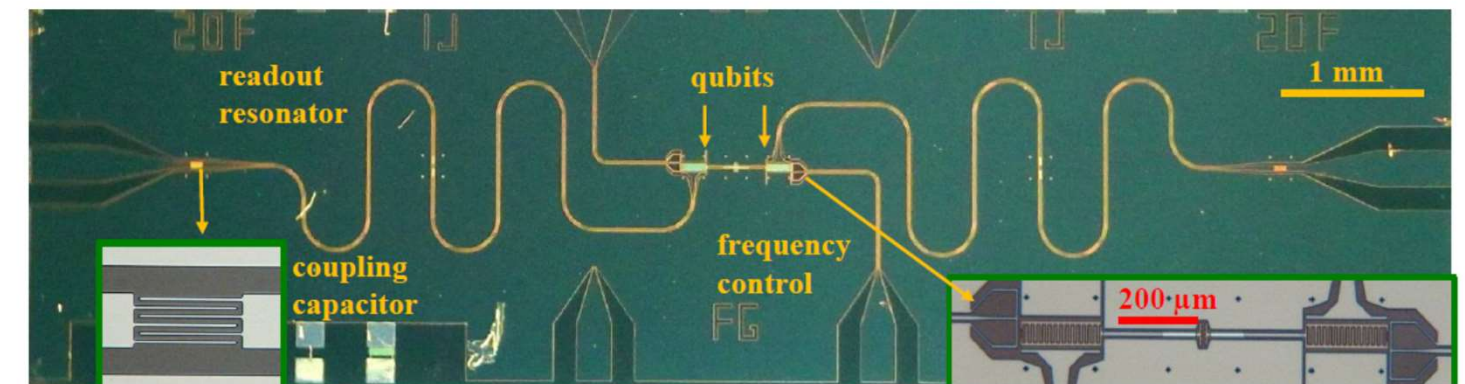
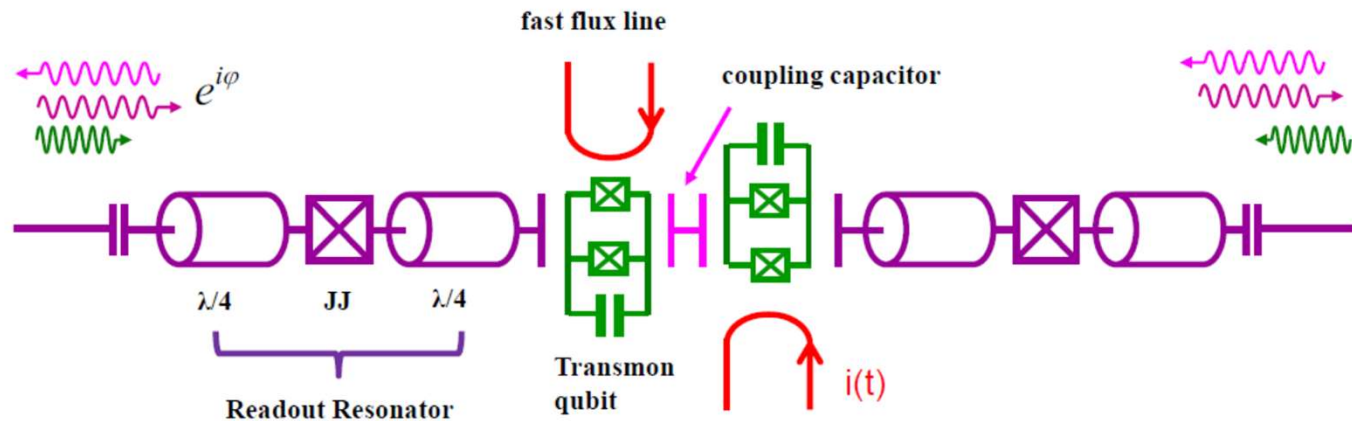


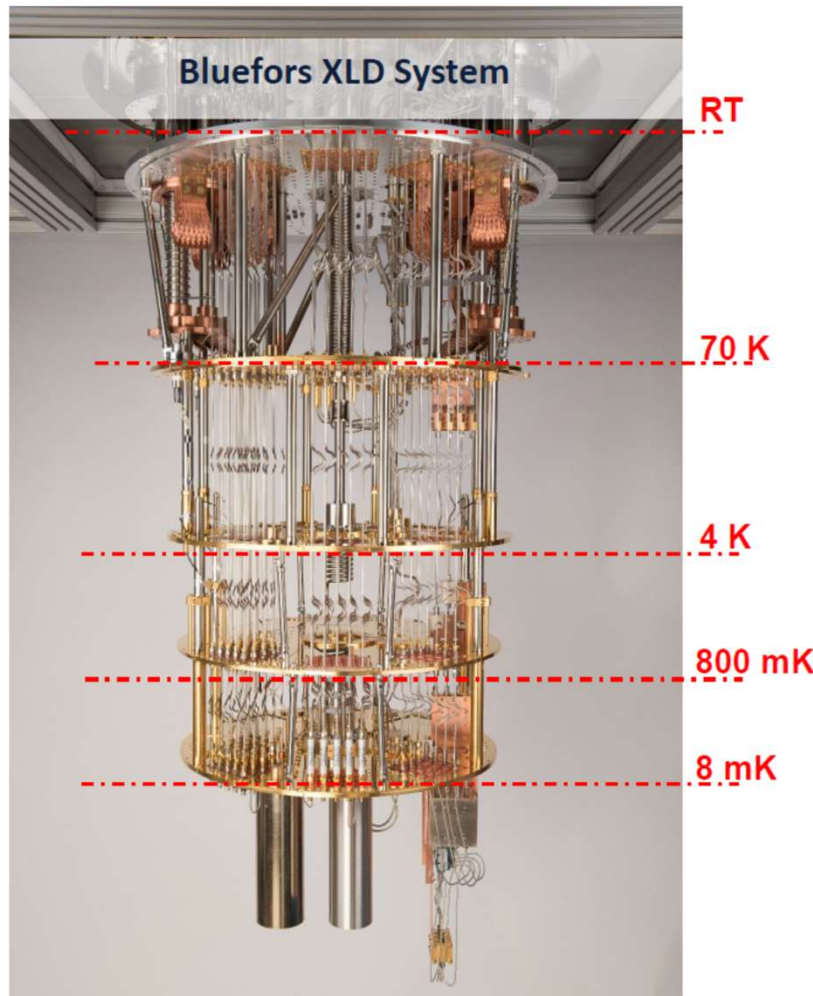
Devices et setup de mesure: exemples



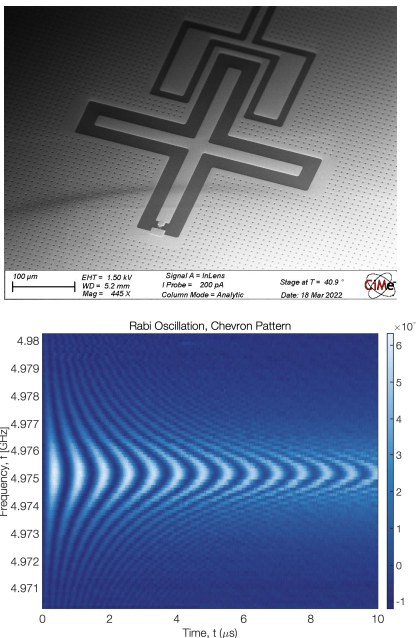
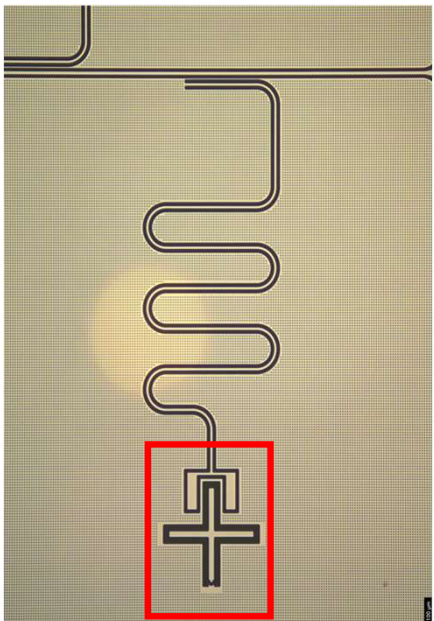
Example : capacitively coupled transmons with individual readout

(Saclay, 2011)

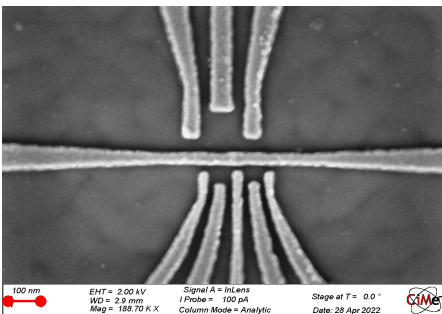




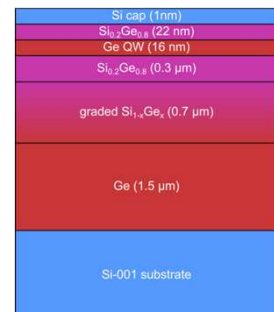
Aluminium Transmon Qubits



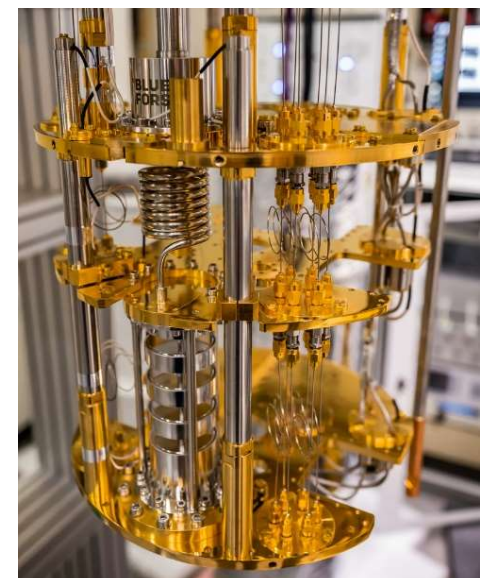
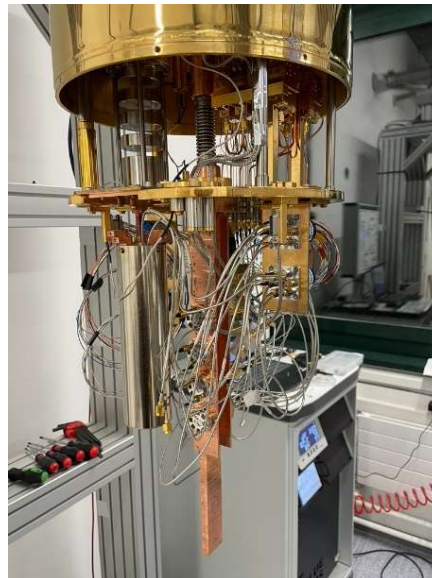
Quantum Dots in Germanium Heterostructures



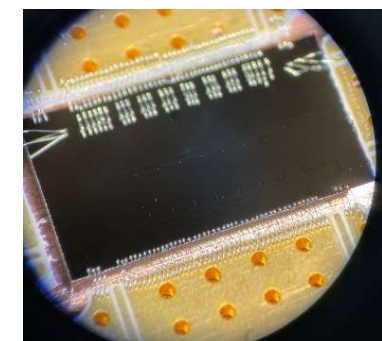
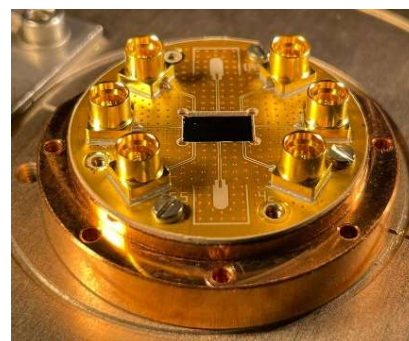
100 nm



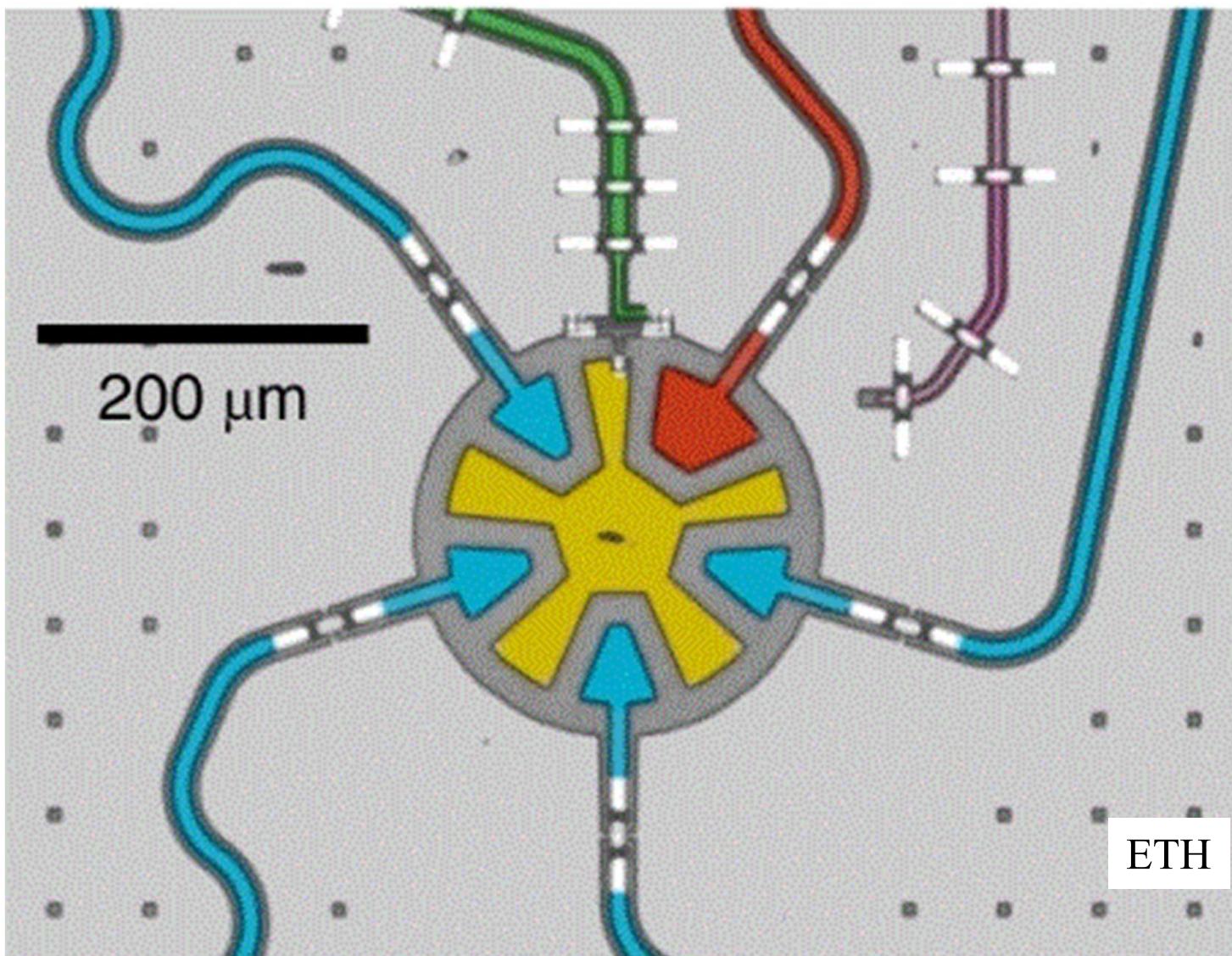
10 mK Dilution Refrigerator in HQC



5-10 GHz Printed Circuit Board hosting the device

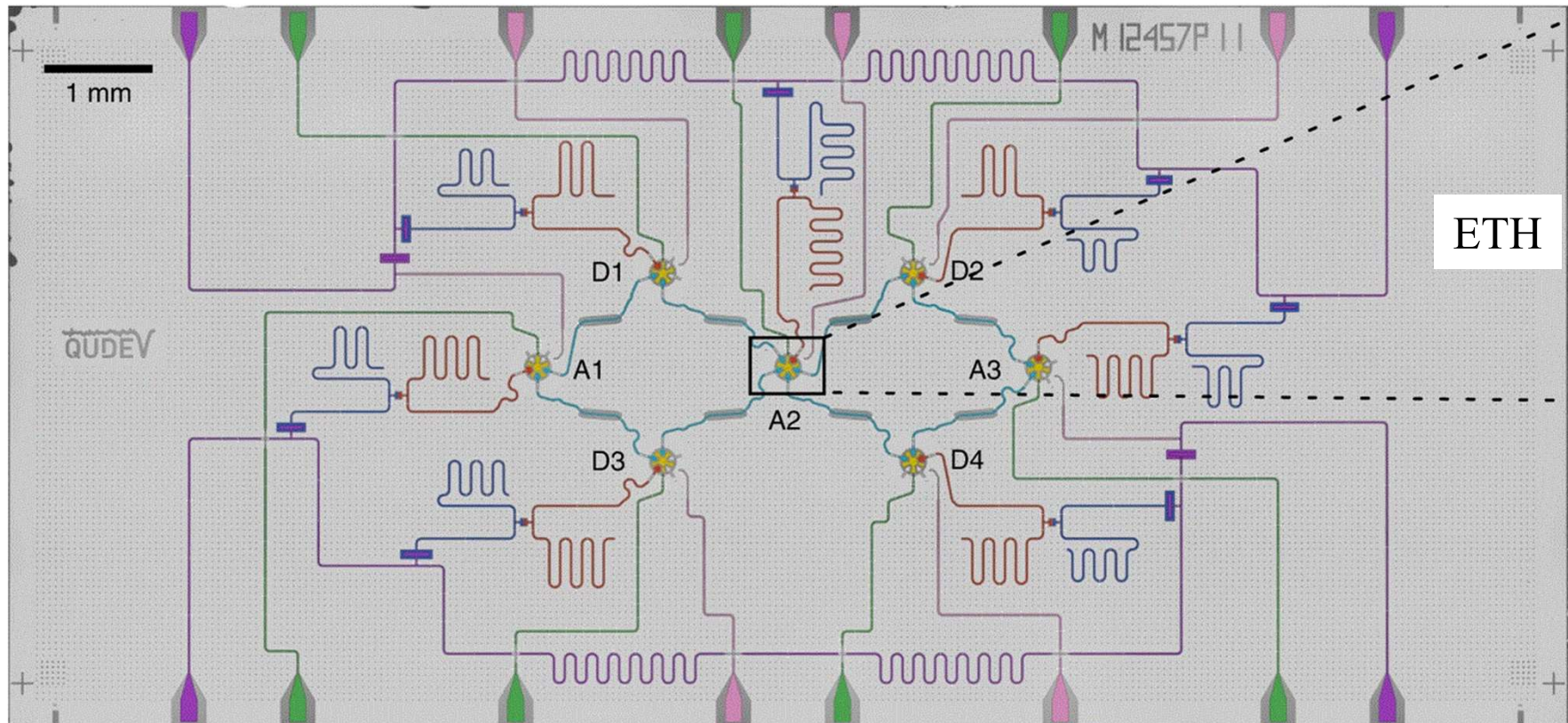


Qubit et lignes de couplage



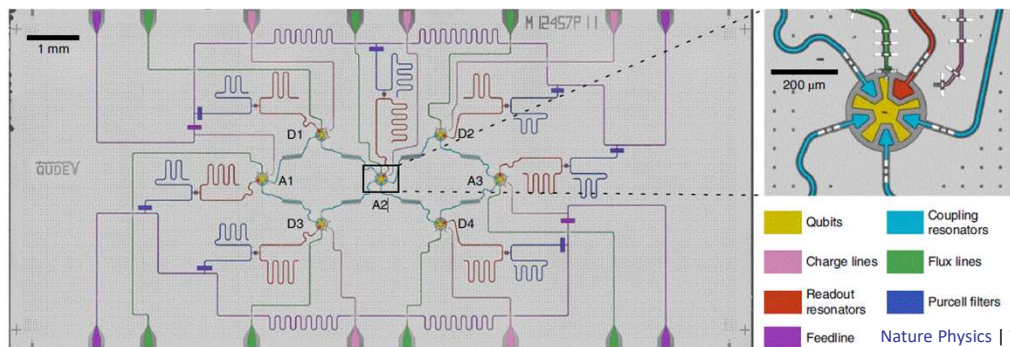
Nature Physics | VOL 16 | August 2020
| 875–880 |
www.nature.com/naturephysics

Puce avec 7 qubits



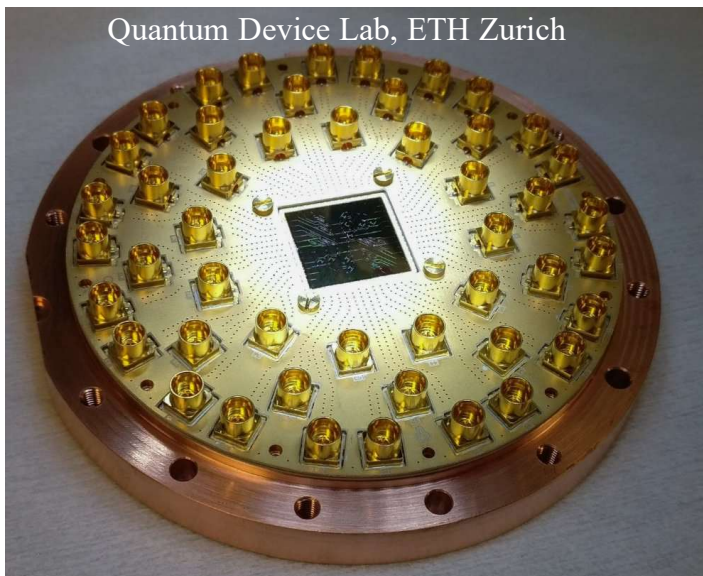
Nature Physics | VOL 16 | August 2020
| 875–880 | www.nature.com/naturephysics

Ordinateur Quantique: ETH



5-10 GHz
10 mK

Nature Physics | VOL 16 | August 2020
| 875–880 | www.nature.com/naturephysics



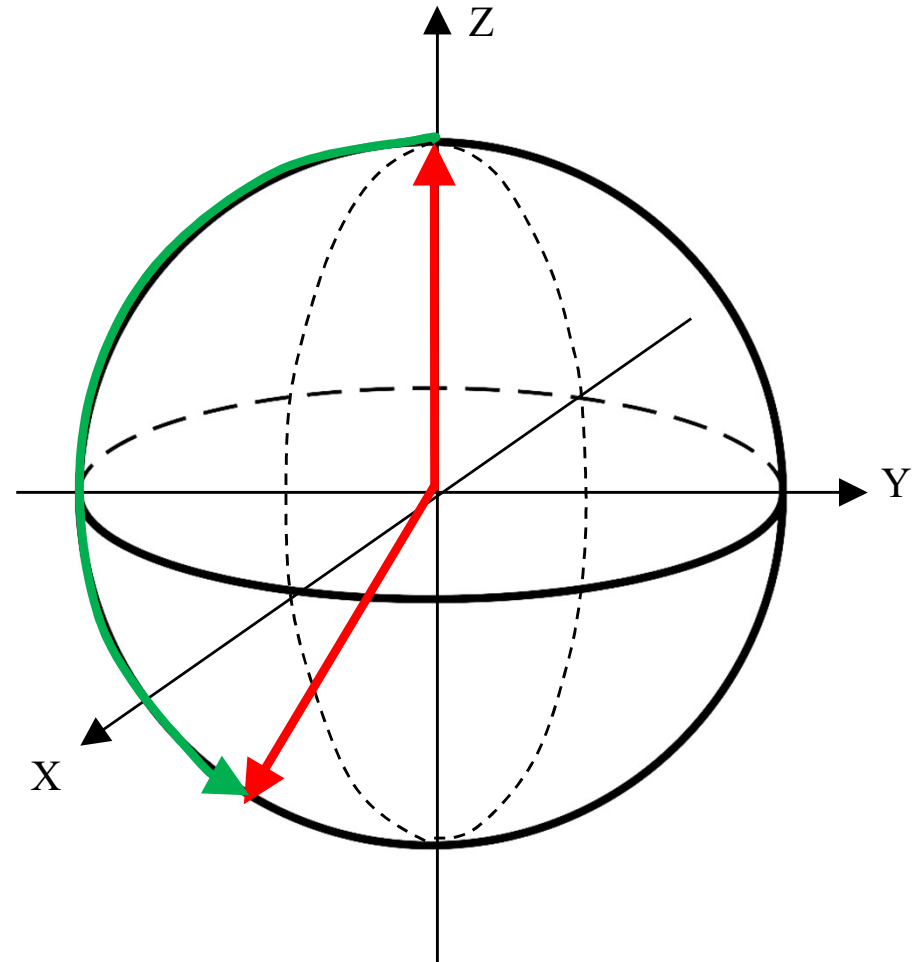
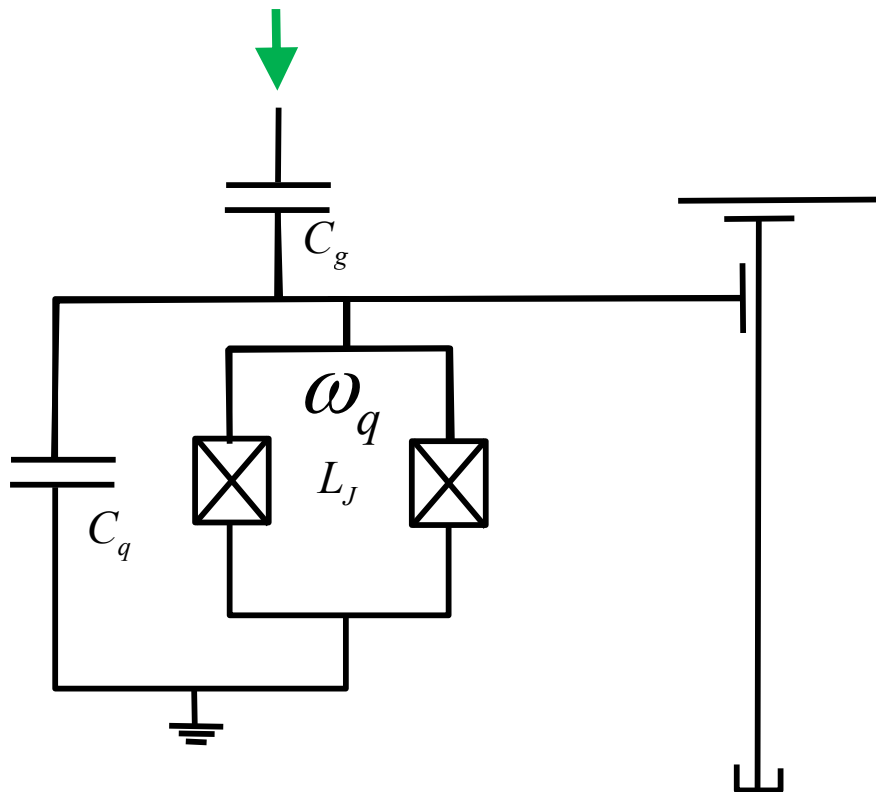
Quantum Device Lab, ETH Zurich

Mesures de Qubits:

- **Fréquence de Rabi**
- **Relaxation, mesures de T_1**
- **Décohérence**

1) Fréquence de Rabi: Excitation

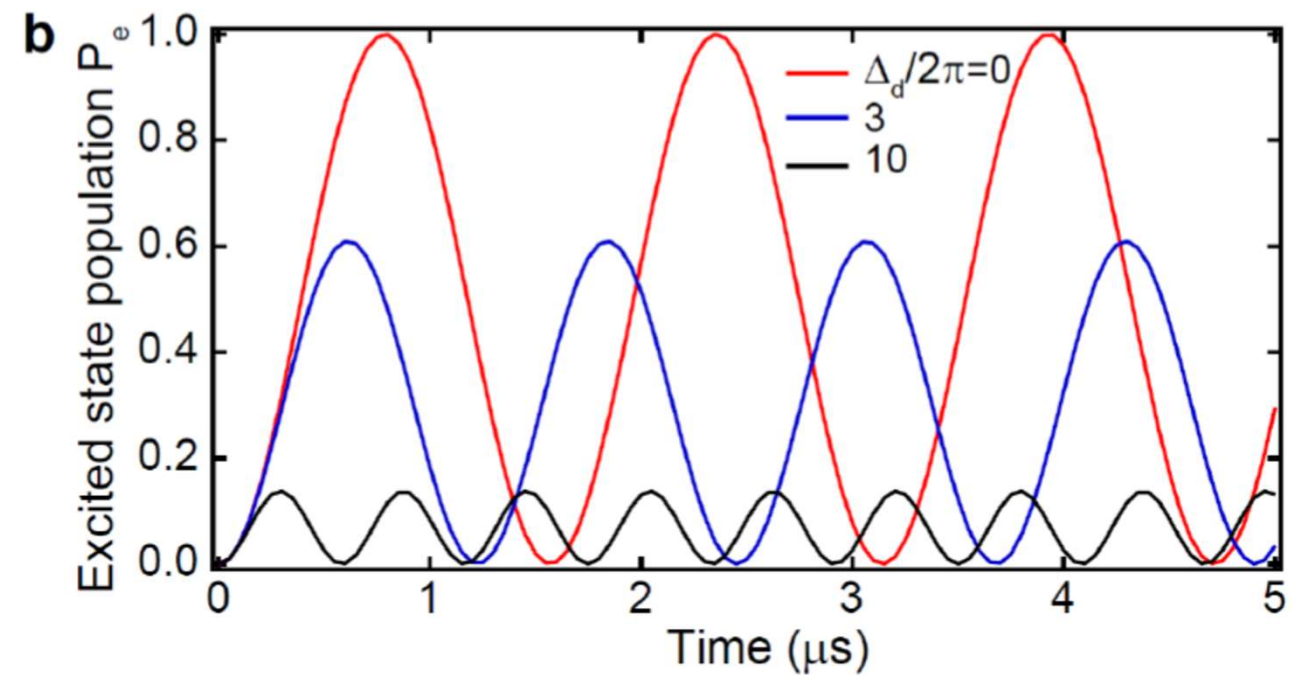
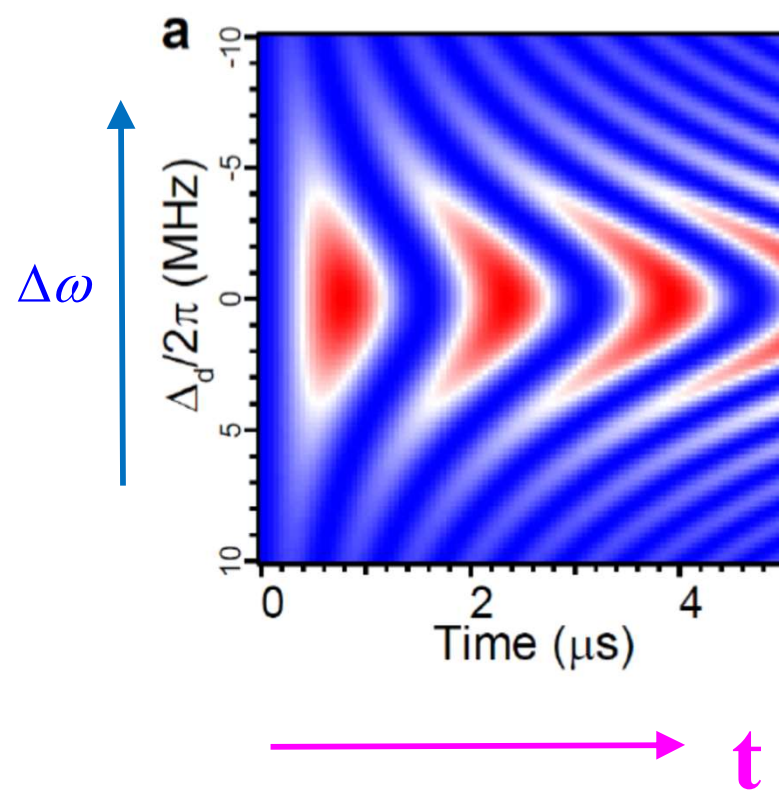
$$V(\omega) = T \cdot \cos(\omega \cdot t)$$



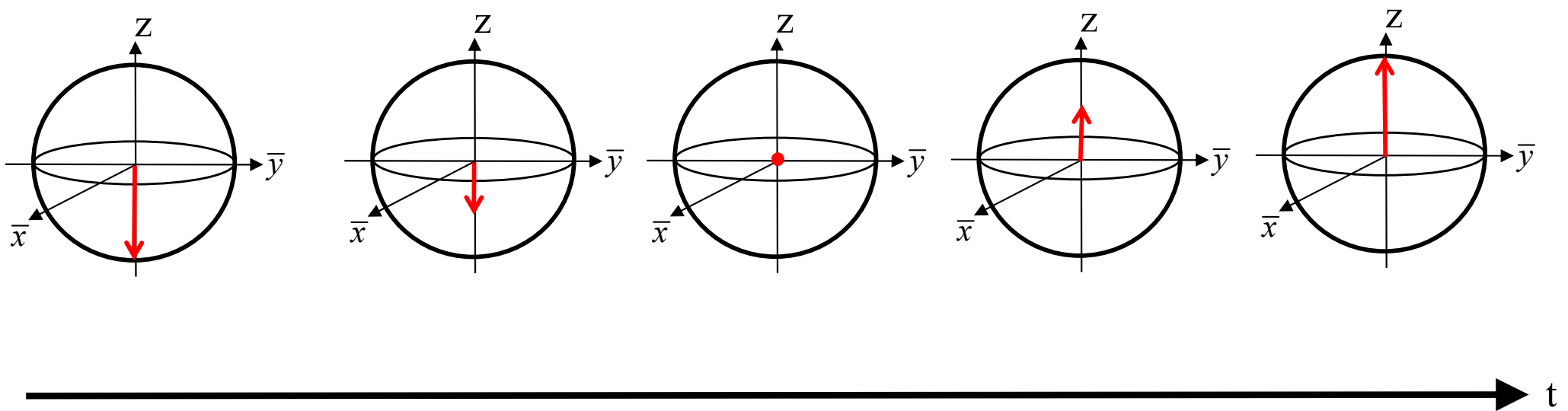
1) Fréquence de Rabi: Résultats

$$\Delta\omega \equiv \omega - \omega_q$$

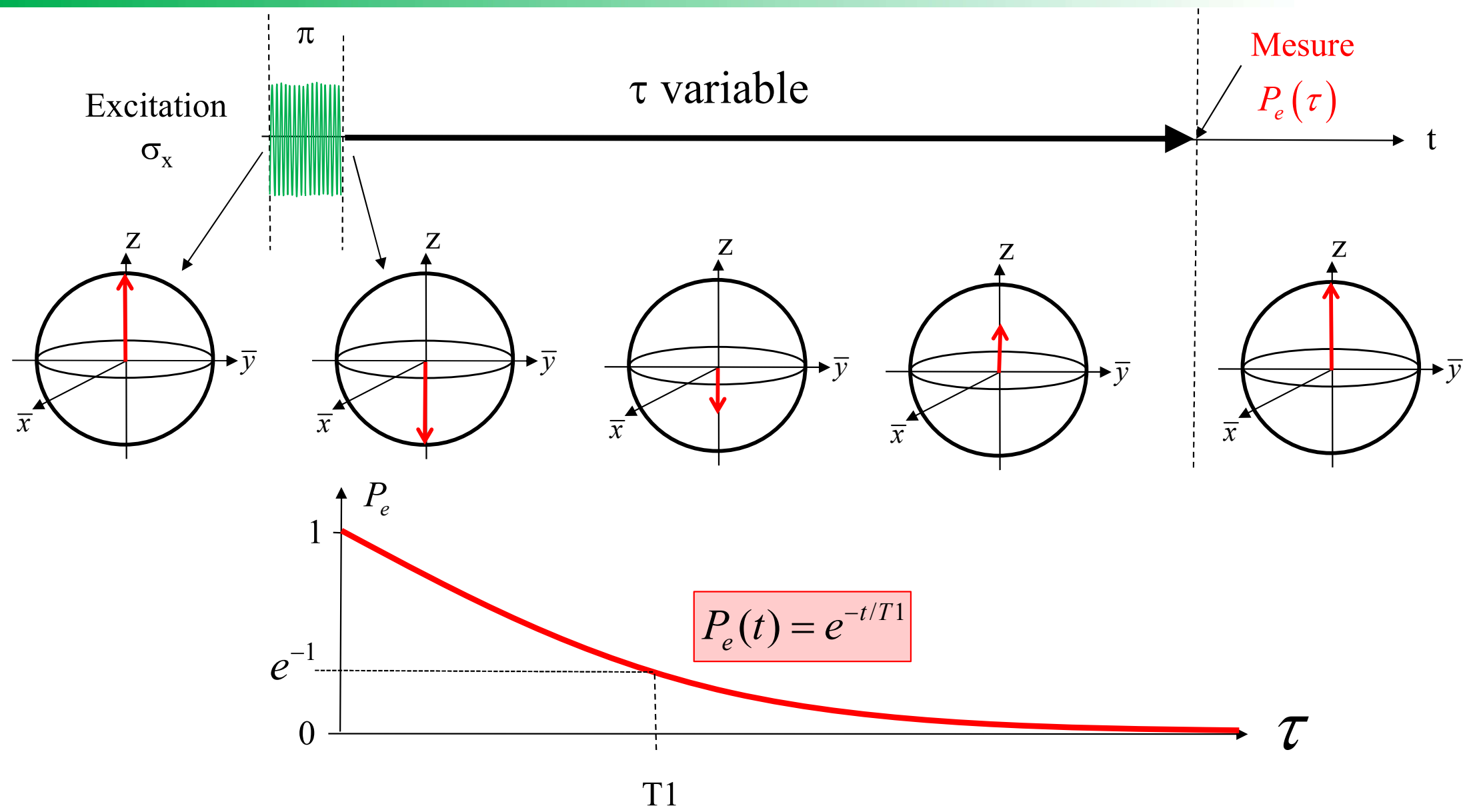
Chaque point de la figure
correspond à une moyenne
sur env. 10'000 mesures



Relaxation: Temps T1

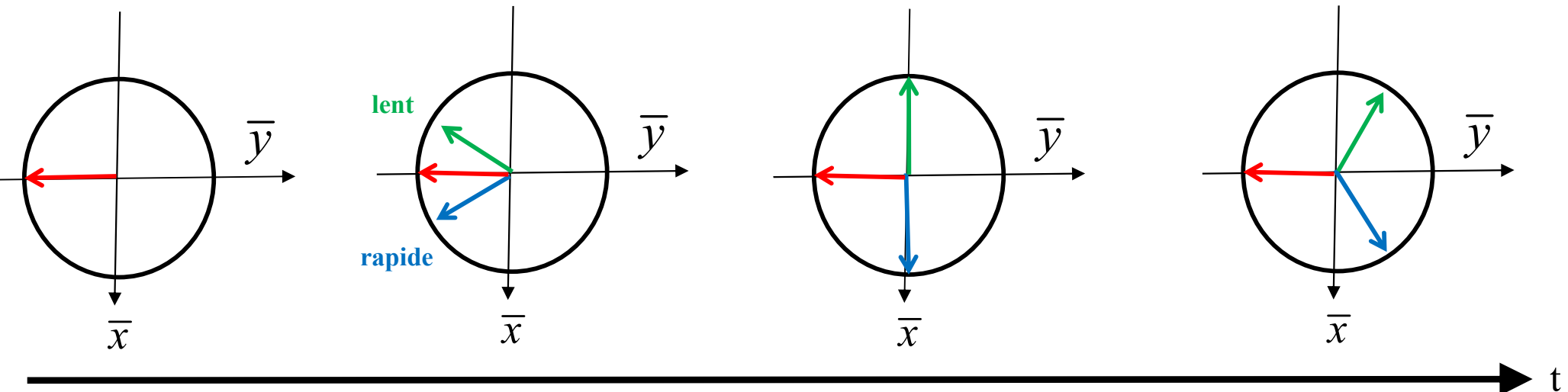


2) Mesure du temps de relaxation T1

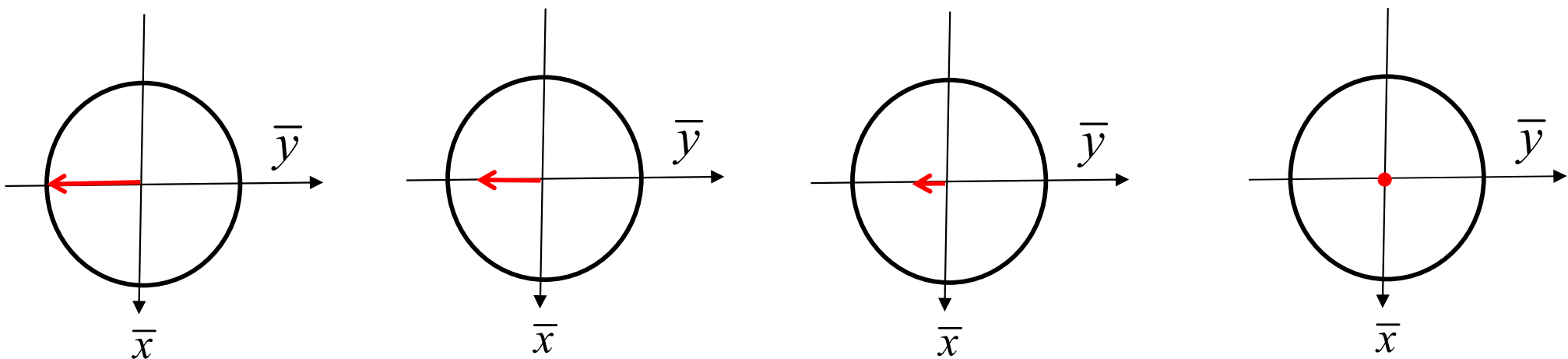


3) Décohérence **dans le plan X, Y**

Décohérence: Temps $T2^*$ ($T2$)

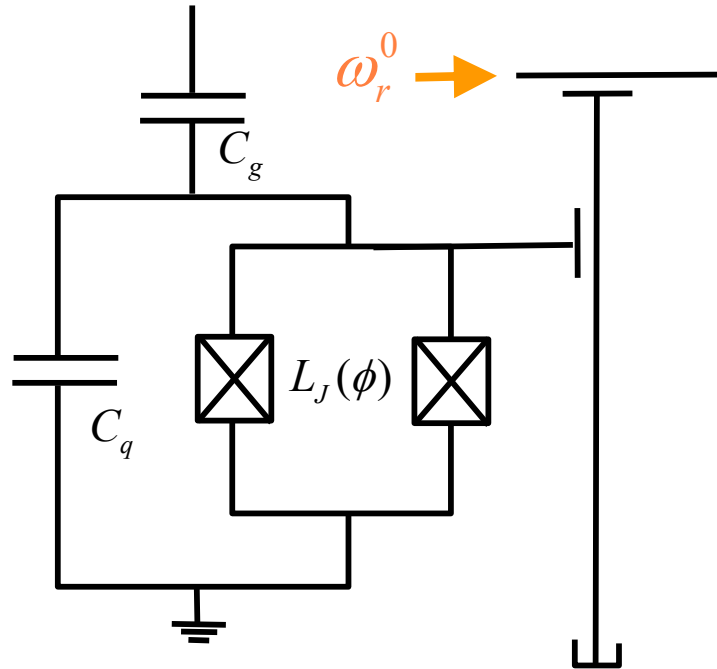


Qubit moyen



Exercices

Exercice 13.1: mesure par quantum non-demolition



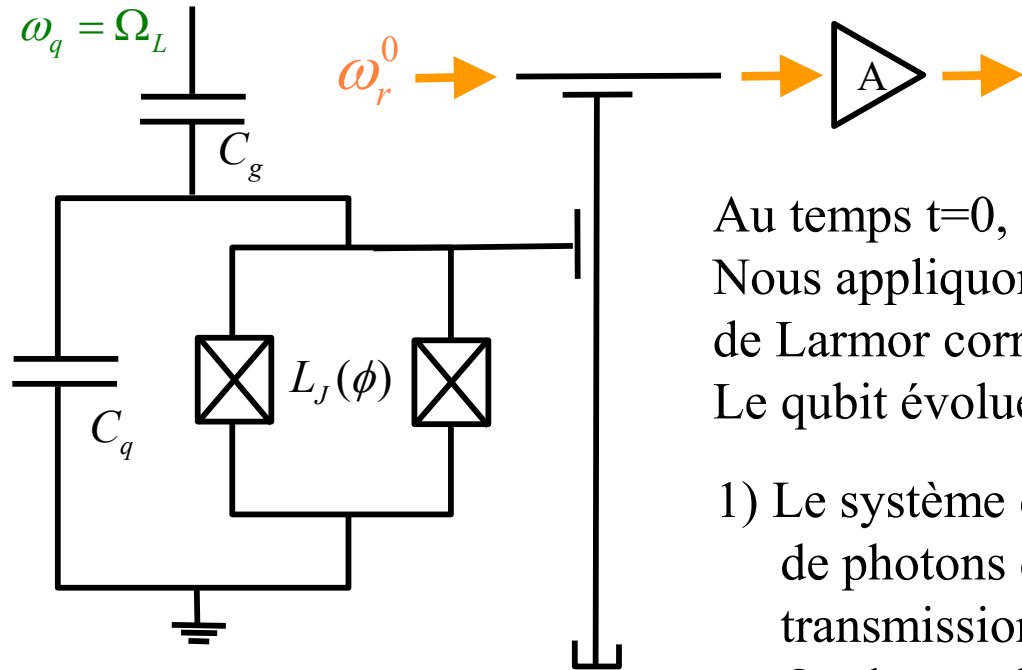
Le qubit est dans l'état de base,

- Nous appliquons une impulsion en X de $\pi/2$
- Nous faisons directement (en négligeant la relaxation et la décohérence) une mesure par quantum non-demolition.

Indiquez, sur la sphère de Bloch, l'évolution du qubit.



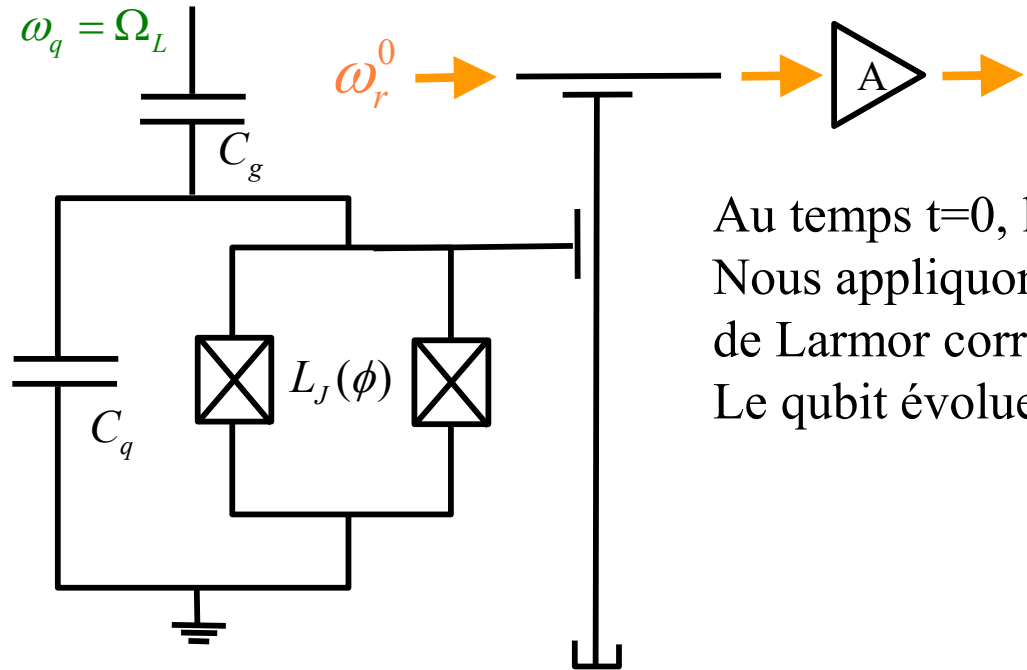
Exercice 13.2: effet Zénon



Au temps $t=0$, le qubit est dans l'état de base, Nous appliquons en continu un signal d'excitation à la fréquence de Larmor correspondant à la résonance du qubit ($\omega_q = \Omega_L$). Le qubit évolue à la fréquence de Rabi Ω_R .

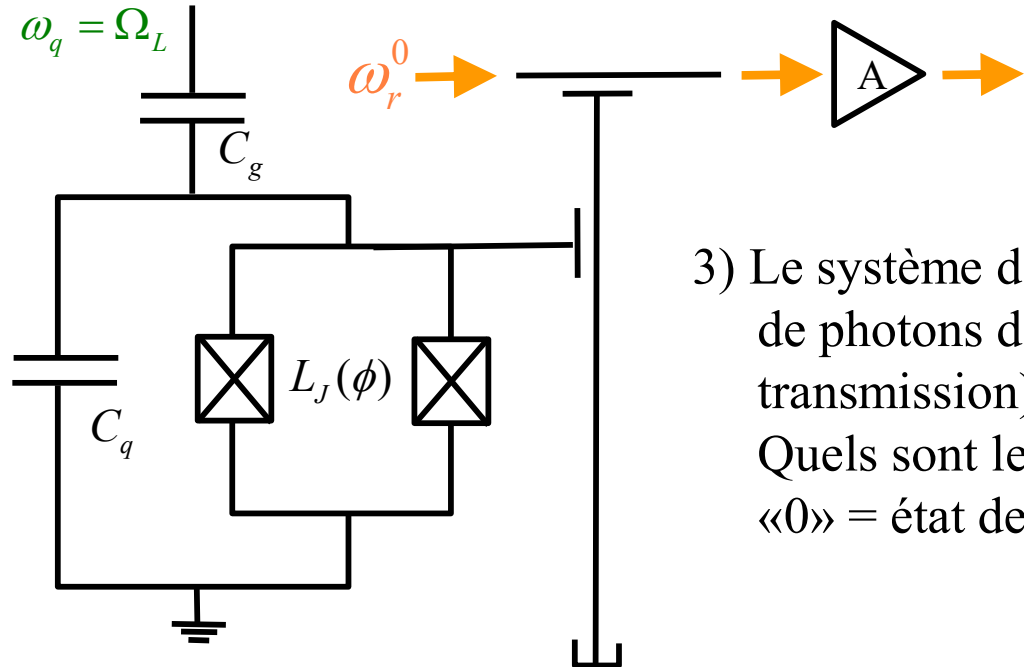
- 1) Le système de mesure par non-démolition (excitation par injection de photons dans le résonateur et mesure électronique de la transmission) est enclenché à intervalles $\Omega_R \cdot T = \pi$. Quels sont les signaux détectés ?
 «0» = état de base, «1» = état excité

Exercice 13.2: effet Zénon

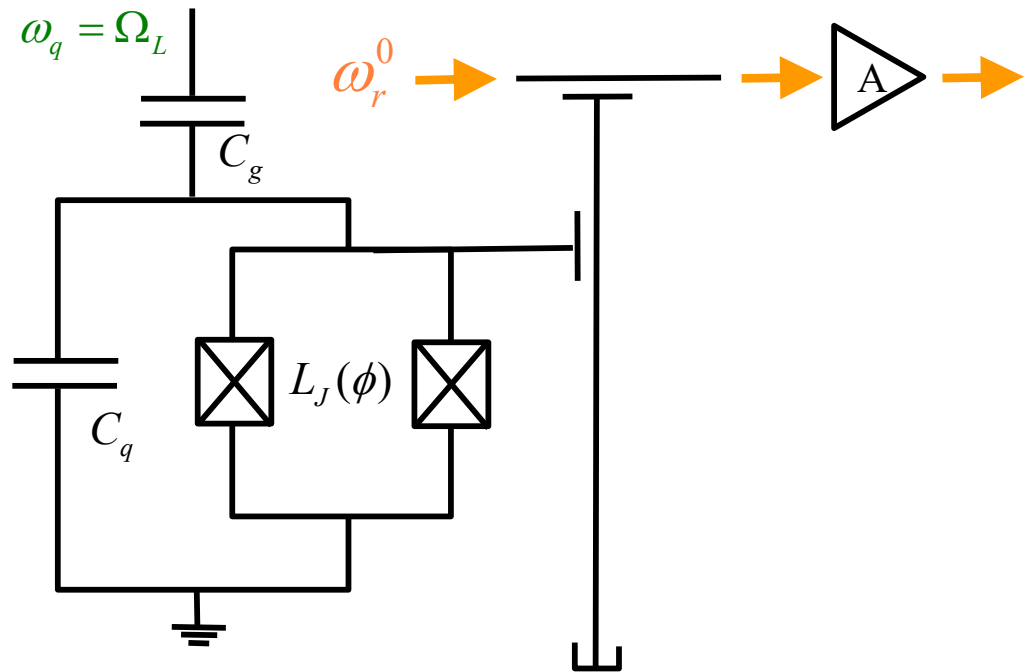


Au temps $t=0$, le qubit est dans l'état de base,
 Nous appliquons en continu un signal d'excitation à la fréquence
 de Larmor correspondant à la résonance du qubit ($\omega_q = \Omega_L$).
 Le qubit évolue à la fréquence de Rabi Ω_R .

- 2) Le système de mesure par non-démolition (excitation par injection de photons dans le résonateur et mesure électronique de la transmission) est enclenché à intervalles $\Omega_R \cdot T = \pi/2$.
 Quels sont les signaux détectés ?
 «0» = état de base, «1» = état excité

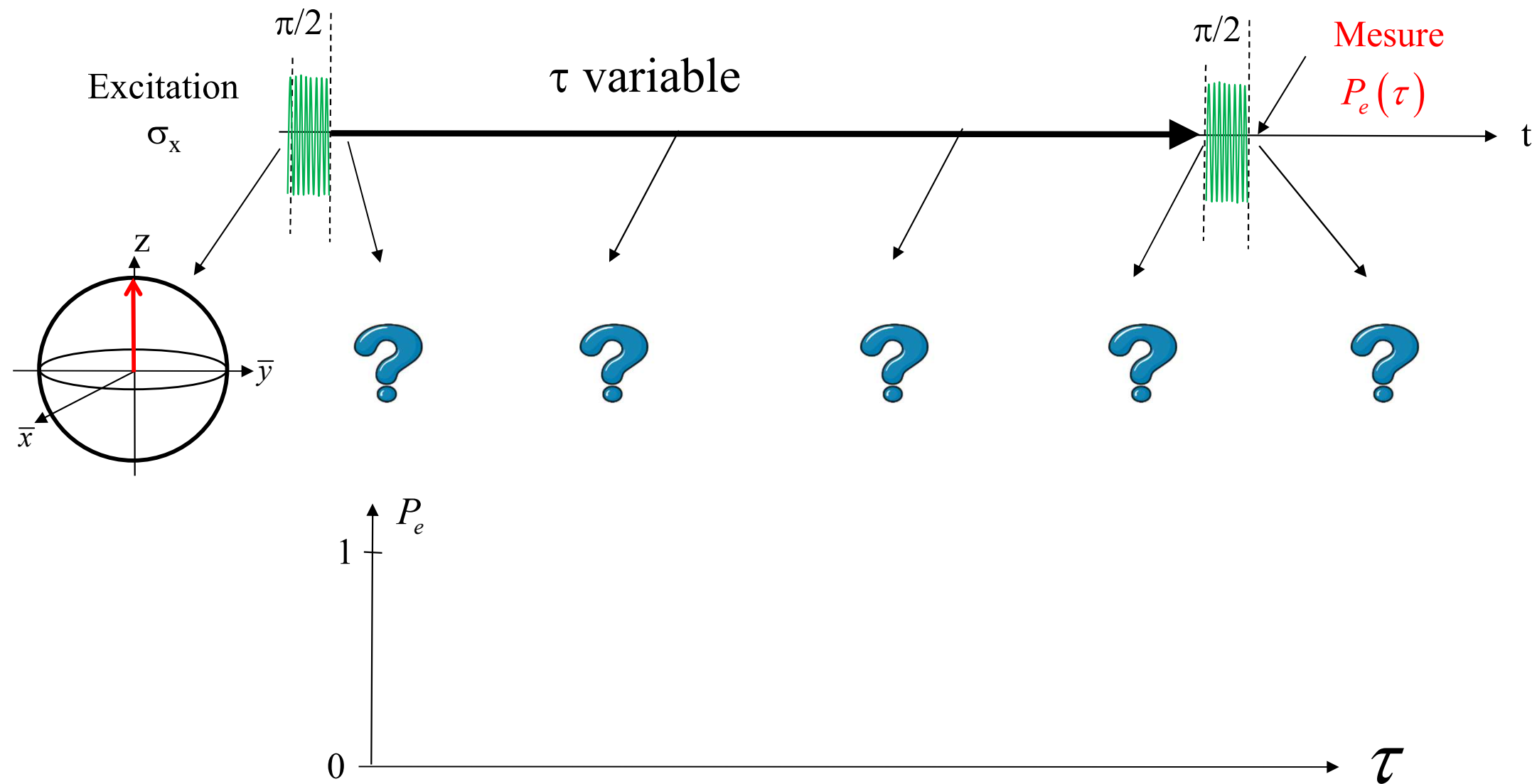


- 3) Le système de mesure par non-démolition (excitation par injection de photons dans le résonateur et mesure électronique de la transmission) fonctionne en continu. Quels sont les signaux détectés ? «0» = état de base, «1» = état excité

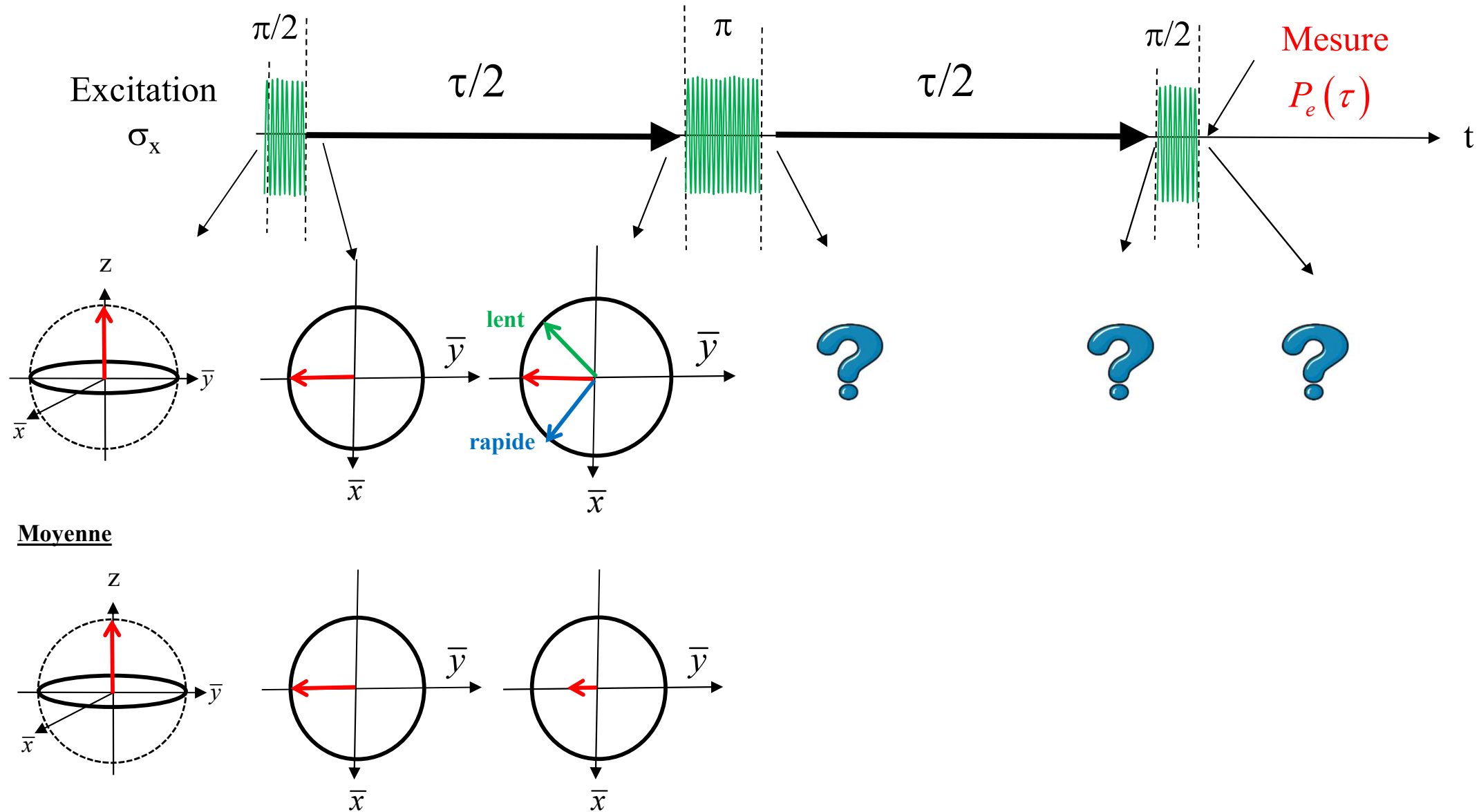


- 4) Seule l'excitation par injection de photons fonctionne en continu. La mesure électronique de la transmission est elle enclenché à intervalles $\Omega_R \cdot T = \pi$
 Quels sont les signaux détectés ?
 «0» = état de base, «1» = état excité

Exercice 13.3 Mesures de décohérence:
analysez ce cas, mesure de T2*



Exercice 13.4: Mesures de décohérence: analysez ce cas: mesure de T2



Exercice 13.4: Mesures de décohérence: analysez ce cas: mesure de T2

